(19) **日本国特許庁(JP)**

(12) 公 開 特 許 公 報(A)

(11)特許出願公開番号

特開2020-113443 (P2020-113443A)

(43) 公開日 令和2年7月27日(2020.7.27)

(51) Int.Cl.			F I			テーマコード (参考)
H05B	33/04	(2006.01)	но 5 В	33/04		3 K 1 O 7
HO1L	51/50	(2006.01)	но 5 В	33/14	A	5CO94
G09F	9/30	(2006.01)	GO9F	9/30	365	
			GO9F	9/30	309	

		審査記	青求 有	請求項の)数 20	ΟL	(全	32 頁)
(21) 出願番号 (22) 出願日	特願2019-3385 (P2019-3385) 平成31年1月11日 (2019.1.11)	(71) 出願人	株式会社JOLED 東京都千代田区神田錦町三丁目23番地					
		(72) 発明者						
		Fターム (参	,	EE49 HH05	BB01 EE50	BB02 EE53		EE48 FF15
			500	194 AA31	BA27	DA07	FB02	

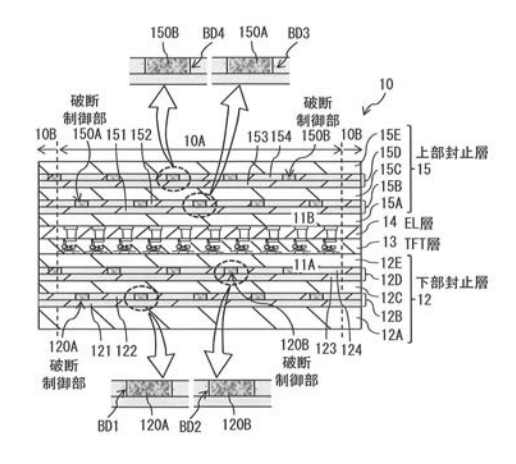
(54) 【発明の名称】発光パネル、発光装置および電子機器

(57)【要約】 (修正有)

【課題】耐環境性を改善することの可能な発光パネル、 発光装置および電子機器を提供する。

【解決手段】発光パネル10は、1または複数の有機電 界発光素子を含む有機電界発光層と、有機電界発光層を 挟み込む上部封止層15および下部封止層12とを備え ている。上部封止層15および下部封止層12の少なく とも一方の封止層が、他の箇所と比べて相対的に機械的 強度の低い無機材料によって形成された複数の破断制御 部 1 2 0 A、 1 2 0 B、 1 5 0 A、 1 5 0 Bが形成され た1または複数の無機封止膜を含む。

【選択図】図3



【特許請求の範囲】

【請求項1】

1または複数の有機電界発光素子を含む有機電界発光層と、

前記有機電界発光層を挟み込む上部封止層および下部封止層と

を備え、

前記上部封止層および前記下部封止層の少なくとも一方の封止層が、他の箇所と比べて相対的に機械的強度の低い無機材料によって形成された複数の破断制御部が形成された1または複数の無機封止膜を含む

発光パネル。

【請求項2】

10

各前記破断制御部は、前記1または複数の無機封止膜の上面から下面に到達しない深さにまで形成されている

請求項1に記載の発光パネル。

【請求項3】

前記1または複数の無機封止膜では、前記破断制御部の形成されている領域と、前記破断制御部の形成されてない領域との境界において、組成が連続的に変化している

請求項1または請求項2に記載の発光パネル。

【請求項4】

前記1または複数の無機封止膜は、アルミナ層およびSIN層を含む複合層となっており、

20

各前記破断制御部は、前記SIN層の一部を酸化することにより形成されている 請求項1から請求項3のいずれか一項に記載の発光パネル。

【請求項5】

各前記破断制御部は、酸窒化ケイ素(SiOxNy)もしくは酸化ケイ素(SiOx)で形成されている

請求項4に記載の発光パネル。

【請求項6】

前記1または複数の無機封止膜は、各前記破断制御部において酸窒化ケイ素(SiOx Ny)もしくは酸化ケイ素(SiOx)で形成され、他の箇所において窒化ケイ素(Si Nx)で形成されている

30

請求項1から請求項3のいずれか一項に記載の発光パネル。

【請求項7】

前記封止層は、乾燥剤を含有する樹脂層を有する

請求項1から請求項6のいずれか一項に記載の発光パネル。

【請求項8】

1または複数の有機電界発光素子を含む有機電界発光層と、

前記有機電界発光層を挟み込む上部封止層および下部封止層と

を備え、

前記上部封止層および前記下部封止層の少なくとも一方の封止層が、他の箇所と比べて相対的に圧縮応力の高い複数の圧縮応力部が形成された1または複数の無機封止膜を含む発光パネル。

40

【請求項9】

各前記圧縮応力部は、不純物の導入により圧縮応力の高められた領域である 請求項8に記載の発光パネル。

【請求項10】

各前記圧縮応力部は、不純物としてイオンが導入されたことより圧縮応力の高められた 領域である

請求項9に記載の発光パネル。

【請求項11】

前記封止層は、乾燥剤を含有する樹脂層を有する

請求項8から請求項10のいずれか一項に記載の発光パネル。

【請求項12】

1または複数の有機電界発光素子を含む有機電界発光層と、

前記有機電界発光層を挟み込む上部封止層および下部封止層と

を備え、

前記上部封止層および前記下部封止層の少なくとも一方の封止層が、

1 または複数の無機封止膜と、

前記無機封止膜ごとに設けられ、対応する前記無機封止膜のうち所定の箇所に圧縮応力を与える1または複数の樹脂層と

を含む

発光パネル。

【請求項13】

前記1または複数の樹脂層は、対応する前記無機封止膜のうち所定の箇所に選択的に圧縮応力を与える収縮部を有する

請求項12に記載の発光パネル。

【請求項14】

前記1または複数の樹脂層は、乾燥剤を含有する

請求項12または請求項13に記載の発光パネル。

【請求項15】

発光パネルと、

前記発光パネルを駆動する駆動部と

を備え

前記発光パネルは、

1または複数の有機電界発光素子を含む有機電界発光層と、

前記有機電界発光層を挟み込む上部封止層および下部封止層と

を有し、

前記上部封止層および前記下部封止層の少なくとも一方の封止層が、他の箇所と比べて相対的に機械的強度の低い無機材料によって形成された複数の破断制御部が形成された 1または複数の無機封止膜を含む

発光装置。

【請求項16】

発光パネルと、

前記発光パネルを駆動する駆動部と

を備え、

前記発光パネルは、

1または複数の有機電界発光素子を含む有機電界発光層と、

前記有機電界発光層を挟み込む上部封止層および下部封止層と

を有し、

前記上部封止層および前記下部封止層の少なくとも一方の封止層が、他の箇所と比べて相対的に圧縮応力の高い複数の圧縮応力部が形成された1または複数の無機封止膜を含む 発光装置。

【請求項17】

発光パネルと、

前記発光パネルを駆動する駆動部と

を備え、

前記発光パネルは、

1または複数の有機電界発光素子を含む有機電界発光層と、

前記有機電界発光層を挟み込む上部封止層および下部封止層と

を有し、

前記上部封止層および前記下部封止層の少なくとも一方の封止層が、

10

20

30

40

1 または複数の無機封止膜と、

前記無機封止膜ごとに設けられ、対応する前記無機封止膜のうち所定の箇所に選択的に 圧縮応力を与える1または複数の樹脂層と

を含む

発光装置。

【請求項18】

発光装置を備え、

前記発光装置は、

発光パネルと、

前記発光パネルを駆動する駆動部と

を有し、

前記発光パネルは、

1または複数の有機電界発光素子を含む有機電界発光層と、

前記有機電界発光層を挟み込む上部封止層および下部封止層と

を有し、

前記上部封止層および前記下部封止層の少なくとも一方の封止層が、他の箇所と比べて 相対的に機械的強度の低い無機材料によって形成された複数の破断制御部が形成された1 または複数の無機封止膜を含む

電子機器。

【請求項19】

発光装置を備え、

前記発光装置は、

発光パネルと、

前記発光パネルを駆動する駆動部と

を有し、

前記発光パネルは、

1または複数の有機電界発光素子を含む有機電界発光層と、

前記有機電界発光層を挟み込む上部封止層および下部封止層と

を有し、

前記上部封止層および前記下部封止層の少なくとも一方の封止層が、他の箇所と比べて 相対的に圧縮応力の高い複数の圧縮応力部が形成された1または複数の無機封止膜を含む 電子機器。

【請求項20】

発光装置を備え、

前記発光装置は、

発光パネルと、

前記発光パネルを駆動する駆動部と

を有し、

前記発光パネルは、

1または複数の有機電界発光素子を含む有機電界発光層と、

前記有機電界発光層を挟み込む上部封止層および下部封止層と

前記上部封止層および前記下部封止層の少なくとも一方の封止層が、

1または複数の無機封止膜と、

前記無機封止膜ごとに設けられ、対応する前記無機封止膜のうち所定の箇所に選択的に 圧縮応力を与える1または複数の樹脂層と

を含む

電子機器。

【発明の詳細な説明】

【技術分野】

10

20

30

40

[00001]

本開示は、発光パネル、発光装置および電子機器に関する。

【背景技術】

[0002]

有機電界発光素子を用いた発光パネルとして、種々のものが提案されている(例えば、 特許文献1参照)。

【先行技術文献】

【特許文献】

[00003]

【 特 許 文 献 1 】 国 際 公 開 第 2 0 1 6 / 1 3 2 7 2 1 号 公 報

【発明の概要】

【発明が解決しようとする課題】

[0004]

ところで、上記の発光パネルでは、耐環境性の改善が求められている。そのため、耐環境性を改善することの可能な発光パネル、発光装置および電子機器を提供することが望ました。

【課題を解決するための手段】

[0005]

本開示の第1の側面に係る発光パネルは、1または複数の有機電界発光素子を含む有機電界発光層と、有機電界発光層を挟み込む上部封止層および下部封止層とを備えている。 上部封止層および下部封止層の少なくとも一方の封止層が、1または複数の無機封止膜を含んでいる。1または複数の無機封止膜は、他の箇所と比べて相対的に機械的強度の低い無機材料によって形成された複数の破断制御部を有する。

[0006]

本開示の第1の側面に係る発光パネルでは、1または複数の無機封止膜に複数の破断制御部が形成されている。これにより、封止層に生じ得る破断箇所が複数の破断制御部によって制御されるので、封止層に生じ得る破断箇所が制御されていない場合と比べて、有機電界発光素子に水分が到達しがたい。

[0007]

本開示の第2の側面に係る発光パネルは、1または複数の有機電界発光素子を含む有機電界発光層と、有機電界発光層を挟み込む上部封止層および下部封止層とを備えている。上部封止層および下部封止層の少なくとも一方の封止層が、1または複数の無機封止膜を含んでいる。1または複数の無機封止膜は、他の箇所と比べて相対的に圧縮応力の高い圧縮応力部を有する。

[0008]

本開示の第2の側面に係る発光パネルでは、1または複数の無機封止膜に複数の圧縮応力部が形成されている。これにより、1または複数の無機封止膜のうち、圧縮応力部以外の領域(以下、「低圧縮応力部」と称する。)では、圧縮応力が生じていないか、圧縮応力部に生じている圧縮応力よりも小さな圧縮応力が生じている。その結果、封止層に生じ得る破断箇所が低圧縮応力部によって制御されるので、封止層に生じ得る破断箇所が制御されていない場合と比べて、有機電界発光素子に水分が到達しがたい。

[0009]

本開示の第3の側面に係る発光パネルは、1または複数の有機電界発光素子を含む有機電界発光層と、有機電界発光層を挟み込む上部封止層および下部封止層とを備えている。 上部封止層および下部封止層の少なくとも一方の封止層が、1または複数の無機封止膜と、無機封止膜ごとに設けられ、対応する無機封止膜のうち所定の箇所に圧縮応力を与える1または複数の樹脂層とを含む。

[0010]

本開示の第3の側面に係る発光パネルでは、1または複数の無機封止膜のうち所定の箇所に圧縮応力を与える1または複数の樹脂層が設けられている。これにより、1または複

10

20

30

40

数の無機封止膜のうち、1または複数の樹脂層から圧縮応力が与えられている箇所以外の領域(以下、「低圧縮応力部」と称する。)では、圧縮応力が生じていないか、圧縮応力部に生じている圧縮応力よりも小さな圧縮応力が生じている。その結果、封止層に生じ得る破断箇所が低圧縮応力部によって制御されるので、封止層に生じ得る破断箇所が制御されていない場合と比べて、有機電界発光素子に水分が到達しがたい。

[0011]

本開示の第4の側面に係る発光装置は、上記第1の側面に係る発光パネルと、上記第1の側面に係る発光パネルを駆動する駆動部とを備えている。

[0012]

本開示の第5の側面に係る発光装置は、上記第2の側面に係る発光パネルと、上記第2の側面に係る発光パネルを駆動する駆動部とを備えている。

[0013]

本開示の第6の側面に係る発光装置は、上記第3の側面に係る発光パネルと、上記第3の側面に係る発光パネルを駆動する駆動部とを備えている。

[0014]

本開示の第7の側面に係る電子機器は、上記第4の側面に係る発光装置を備えている。

[0 0 1 5]

本開示の第8の側面に係る電子機器は、上記第5の側面に係る発光装置を備えている。

[0016]

本開示の第9の側面に係る電子機器は、上記第6の側面に係る発光装置を備えている。 【発明の効果】

[0017]

本開示の第1、第2および第3の側面に係る発光パネル、第4、第5および第6の側面に係る発光装置、ならびに第7、第8および第9の側面に係る電子機器によれば、上部封止層および下部封止層の少なくとも一方の封止層に生じ得る破断箇所を破断制御部もしくは低圧縮応力部によって制御するようにしたので、封止層に生じ得る破断箇所が制御されていない場合と比べて、有機電界発光素子に水分が到達しがたくすることができる。その結果、耐環境性を改善することができる。なお、上記内容は本開示の一例である。本開示の効果は、上述したものに限らず、他の異なる効果であってもよいし、更に他の効果を含んでいてもよい。

【図面の簡単な説明】

[0018]

- 【図1】本開示の第1の実施の形態に係る発光パネルの平面構成の一例を表す図である。
- 【図2】図1の画素の回路構成の一例を表す図である。
- 【図3】図1の発光パネルの断面構成の一例を表す図である。
- 【図4】図3の下部封止層の平面構成の一例を表す図である。
- 【図5】図3の下部封止層の平面構成の一例を表す図である。
- 【図6】図3の上部封止層の平面構成の一変形例を表す図である。
- 【図7】図3の上部封止層の平面構成の一変形例を表す図である。
- 【図8】図3の下部封止層に含まれる一の無機封止層の製造過程の一例を表す図である。
- 【図9】図3の発光パネルの断面構成の一変形例を表す図である。
- 【図10】図9の下部封止層に含まれる一の無機封止層の製造過程の一例を表す図である

【図11】図9の発光パネルの断面構成の一変形例を表す図である。

- 【図12】図11の下部封止層に含まれる一の無機封止層の平面構成の一例を表す図である。
- 【図13】図11の下部封止層に含まれる一の無機封止層の平面構成の一例を表す図である。
- 【図14】図11の上部封止層に含まれる一の無機封止層の平面構成の一例を表す図である。

10

20

30

40

【図15】図11の上部封止層に含まれる一の無機封止層の平面構成の一例を表す図である。

- 【 図 1 6 】図 9 の 発 光 パ ネ ル の 断 面 構 成 の 一 変 形 例 を 表 す 図 で あ る 。
- 【図17】図3の発光パネルの断面構成の一変形例を表す図である。
- 【図18】図9の発光パネルの断面構成の一変形例を表す図である。
- 【 図 1 9 】 図 1 1 の 発 光 パ ネ ル の 断 面 構 成 の 一 変 形 例 を 表 す 図 で あ る 。
- 【 図 2 0 】 図 1 6 の 発 光 パ ネ ル の 断 面 構 成 の 一 変 形 例 を 表 す 図 で あ る 。
- 【図21】本開示の第2の実施の形態に係る発光装置の概略構成の一例を表す図である。
- 【図22】上記第2の実施の形態に係る発光装置を備えた電子機器の外観の一例を斜視的に表す図である。
- 【図23】上記第1の実施の形態およびその変形例に係る発光パネルを備えた照明装置の外観の一例を斜視的に表す図である。
- 【図24】上記第1の実施の形態およびその変形例に係る発光パネルの平面構成の一変形例を表す図である。

【発明を実施するための形態】

[0019]

以下、本開示を実施するための形態について、図面を参照して詳細に説明する。以下に説明する実施の形態は、いずれも本開示の好ましい一具体例を示すものである。したがって、以下の実施の形態で示される数値、形状、材料、構成要素、構成要素の配置位置及び接続形態などは、一例であって本開示を限定する主旨ではない。よって、以下の実施の形態における構成要素のうち、本開示の最上位概念を示す独立請求項に記載されていない構成要素については、任意の構成要素として説明される。なお、各図は、模式図であり、必ずしも厳密に図示されたものではない。また、各図において、実質的に同一の構成に対しては同一の符号を付しており、重複する説明は省略又は簡略化する。なお、説明は以下の順序で行う。

- 1. 第1の実施の形態(発光パネル)
- 2 . 第 1 の 実 施 の 形 態 の 変 形 例 (発 光 パ ネ ル)
- 3 . 第2の実施の形態(発光装置)
- 4. 適用例(電子機器、照明装置)

[0020]

< 1 . 第 1 の実施の形態 >

[構成]

図1は、本開示の第1の実施の形態に係る発光パネル10の平面構成の一例を表したものである。発光パネル10は、フレキシブルパネルである。発光パネル10は、後述の発光装置1や電子機器2、照明部410など(以下、「製品」と称する。)に組み込まれる。発光パネル10は、ユーザによって特定の方向(以下、「曲げ方向」と称する。)にだけ屈曲もしくは湾曲可能に上記製品に組み込まれるか、または、曲げ方向に屈曲もしくは湾曲した状態で上記製品に組み込まれる。発光パネル10が長方形状となっている場合、曲げ方向は、発光パネル10の長手方向であってもよいし、発光パネル10の短手方向であってもよい。なお、以下では、曲げ方向が発光パネル10の長手方向となっているものとして、発光パネル10の説明を行う。

[0021]

発光パネル10は、例えば、後述のコントローラ20およびドライバ30によって各画素11がアクティブマトリクス駆動されることにより、外部から入力された映像信号および同期信号に基づく画像を表示する。発光パネル10は、行方向に延在する複数の走査線WSLと、列方向に延在する複数の信号線DTLおよび複数の電源線DSLと、行列状に配置された複数の画素11とを有している。複数の画素11は、発光パネル10の発光領域10Aに設けられている。発光パネル10において、発光領域10Aの周囲には非発光領域10Bが設けられている。非発光領域10Bは、発光パネル10の額縁領域に相当し

10

20

30

40

、 発 光 領 域 1 0 A を 囲 む 環 形 状 と な っ て い る 。

[0022]

走査線WSLは、各画素11の選択に用いられるものであり、各画素11を所定の単位(例えば画素行)ごとに選択する選択パルスを各画素11に供給するものである。信号線DTLは、映像信号に応じた信号電圧の、各画素11への供給に用いられるものであり、信号電圧を含むデータパルスを各画素11に供給するものである。電源線DSLは、各画素11に電力を供給するものである。

[0023]

複数の画素11は、例えば、赤色光を発する複数の画素11、緑色光を発する複数の画素11、および青色光を発する複数の画素11を含んで構成されている。なお、複数の画素11は、例えば、さらに、他の色(例えば、白色や、黄色など)を発する複数の画素11を含んで構成されていてもよい。

[0024]

図 2 は、各画素 1 1 の回路構成の一例を表したものである。各画素 1 1 は、画素回路 1 1 A と、有機 E L (Electro Luminescence) 素子 1 1 B とを有している。

[0025]

画素回路11Aは、有機EL素子11Bの発光・消光を制御する。画素回路11Aは、書込走査によって各画素11に書き込んだ電圧を保持する機能を有している。画素回路11Aは、例えば、駆動トランジスタTr1、書込トランジスタTr2および保持容量Csを含んで構成されている。

[0026]

書込トランジスタTr2は、駆動トランジスタTr1のゲートに対する信号電圧Vsigの印加を制御する。具体的には、書込トランジスタTr2は、信号線DTLの電圧をサンプリングするとともに、サンプリングにより得られた電圧を駆動トランジスタTr1のゲートに書き込む。駆動トランジスタTr1は、有機EL素子11Bに直列に接続されている。駆動トランジスタTr1は、有機EL素子11Bを駆動する。駆動トランジスタTr1は、書込トランジスタTr1は、有機EL素子11Bを駆動する。駆動トランジスタTr1のゲート・ソース間に所定の電圧を保持するものである。保持容量Csは、所定の期間中に駆動トランジスタTr1のゲート・ソース間電圧Vgsを一定に保持する役割を有する。なお、画素回路11Aは、上述の2Tr1Cの回路に対して各種容量やトランジスタを付加した回路構成となっていてもよいし、上述の2Tr1Cの回路構成とは異なる回路構成となっていてもよい。

[0027]

書込トランジスタTr2のゲートは、走査線WSLに接続されている。書込トランジスタTr2のソースまたはドレインが信号線DTLに接続されている。書込トランジスタTr2のソースおよびドレインのうち信号線DTLに未接続の端子が駆動トランジスタTr1のゲートに接続されている。駆動トランジスタTr1のソースまたはドレインが電源線DSLに接続されている。駆動トランジスタTr1のソースおよびドレインのうち電源線DSLに未接続の端子が有機EL素子11Bの陽極に接続されている。保持容量Csの一端が駆動トランジスタTr1のゲートに接続されている。保持容量Csの他端が駆動トランジスタTr1のソースおよびドレインのうち有機EL素子11B側の端子に接続されている。

[0028]

図3は、発光パネル10の断面構成の一例を表したものである。発光パネル10は、複数の有機 E L 素子11Bを含む E L 層14(有機電界発光層)と、有機 E L 素子11Bごとに1つずつ割り当てられた複数の画素回路11Aを含むTFT層13とを有している。発光パネル10は、さらに、E L 層14およびTFT層13を挟み込む下部封止層12および上部封止層15を有している。

[0029]

30

10

20

下部封止層12は、水分等のEL層14への侵入を防止することにより、発光パネル10の耐環境性を高めるための層である。下部封止層12は、例えば、基板12A上に、無機封止膜12B、樹脂層12C、無機封止膜12Dおよび樹脂層12Eをこの順に積層してなる積層体である。

[0030]

基板12Aは、TFT層13およびEL層14を支持する可撓性基板である。基板12Aは、樹脂材料によって形成されている。基板12Aは、例えば、ポリイミド樹脂、アクリル系樹脂、スチレン系樹脂などによって挟まれている。樹脂層12Cは、無機封止膜12Bと無機封止膜12Dとによって挟まれた層内に設けられているが料によって形成されている。樹脂層12Cは、例えば、ポリイミド樹脂、アクリルポート系樹脂、エポキシ系樹脂、ポリカーボネート系樹脂、エポキシ系樹脂、オリエモはシリコーン系樹脂などによって形成されている。樹脂層12Eは、別によって形成するための下地層である。樹脂層12Eは、別によって形成は、ポリイミド樹脂、アクリル系樹脂、スチレン系樹脂、ポリエチレン、ポリエステル、またはシリコース系樹脂、ポリエチレン、ポリエステル、またはシリコース系樹脂、ポリエチレン、ポリエステル、またはシリン系樹脂などによって形成されている。基板12A、樹脂層12Cおよび樹脂層12Eは、有機金属化合物あるいは無機化合物などからなる乾燥剤を含有する樹脂材料によって形成されていてもよい。

[0031]

無機封止膜12Bは、無機封止膜12Dと比べて基板12A寄りに設けられている。無機封止膜12Bは、水分等のEL層14への侵入を防止するための層である。無機封止膜12Bは、アルミナ層121およびSiN層122を含んでおり、例えば、アルミナ層121およびSiN層122を基板12A側からこの順に積層した複合層となっている。無機封止膜12Dは、無機封止膜12Bと比べてEL層14寄りに設けられている。無機封止膜12Dは、水分等のEL層14への侵入を防止するための層である。無機封止膜12Dは、アルミナ層123およびSIN層124を基板12A側からこの順に積層した複合層となっている。

[0032]

SiN層122は、発光領域10Aおよび非発光領域10Bの双方において、複数の破断制御部120Aを有している。つまり、各破断制御部120Aは、無機封止膜12Bの上面から下面に到達しない深さにまで形成されている。従って、アルミナ層121は、発光パネル10を全面に渡って覆っている。SiN層124は、発光領域10Aおよび非発光領域10Bの双方において、複数の破断制御部120Bを有している。つまり、各破断制御部120Bは、無機封止膜12Dの上面から下面に到達しない深さにまで形成されている。従って、アルミナ層123は、発光パネル10を全面に渡って覆っている。

[0033]

発光パネル10が、図1に示したような長方形状となっており、かつ、発光パネル10の曲げ方向が発光パネル10の長手方向となっているとする。このとき、各破断制御部120A,120Bは、発光パネル10の長手方向と交差(例えば直交)する方向に延在している。各破断制御部120A,120Bは、他の箇所と比べて相対的に機械的強度の低い無機材料によって形成されている。

[0034]

SiN層122が窒化ケイ素(SiNx)で形成されている場合、各破断制御部120Aが酸窒化ケイ素(SiOxNy)もしくは酸化ケイ素(SiOx)で形成されている。このとき、SiN層122は、各破断制御部120Aにおいて酸窒化ケイ素(SiOxNy)もしくは酸化ケイ素(SiOxNy)もしくは酸化ケイ素(SiOx)で形成され、他の箇所において窒化ケイ素(SiNx)で形成されている。このとき、SiN層122は、例えば、窒化ケイ素(SiNx)膜の一部を酸化により酸窒化ケイ素(SiOxNy)もしくは酸化ケイ素(SiOx)に変化させることにより形成される。SiN層124が窒化ケイ素(SiNx)で形成され

10

20

30

40

10

20

30

40

50

ている場合、各破断制御部120Bが酸窒化ケイ素(SiOxNy)もしくは酸化ケイ素(SiOx)で形成されている。このとき、SiN層124は、各破断制御部120Bにおいて酸窒化ケイ素(SiOxNy)もしくは酸化ケイ素(SiOx)で形成され、他の箇所において窒化ケイ素(SiNx)で形成されている。このとき、SiN層124は、例えば、窒化ケイ素(SiNx)膜の一部を酸化により酸窒化ケイ素(SiOxNy)もしくは酸化ケイ素(SiOx)に変化させることにより形成される。

[0035]

図4、図5は、下部封止層12の平面構成の一例を表したものである。複数の破断制御部120Aと複数の破断制御部120Bとは、積層方向において互いに非対向の位置に設けられている。複数の破断制御部120Aと、複数の破断制御部120Bとは、例えば、下部封止層12の法線方向から見たときに、できるだけ離れて配置されていることが好ましい。複数の破断制御部120Aと、複数の破断制御部120Bとは、下部封止層12の法線方向から見たときに、例えば、等間隔で配置されている。複数の破断制御部120Aと、複数の破断制御部120Bとでで記憶を含有する樹脂材料によって形成されている場合、複数の破断制御部120Aと、複数の破断制御部120Bとは、下部封止層12の法線方向から見たときに、例えば、1mm程度、離れて配置されている

[0036]

アルミナは、酸窒化ケイ素(SiOxNy)や酸化ケイ素(SiOx)と比較して、水分等のバリア性(透過防御性)が高い。そのため、各破断制御部120A,120BがSiN層122,124に設けられている場合であっても、アルミナ層121,123によって、水分等のバリア性(透過防御性)が保たれる。また、発光パネル10が曲屈曲もしくは湾曲され、無機封止膜12B,12Dが破断制御部120A,120Bにおいて破断した場合であっても、破断制御部120A,120Bが積層方向において互いに対向する位置に設けられた場合と比較して、基板12A側からEL層14へ至る水分等の経路として、下部封止層12の法線方向から見たときの破断制御部120Aと破断制御部120Bとの距離分長くなる。このため、発光パネル10の耐環境性を高めることができる。

[0037]

破断制御部120Aの形成されている領域と、破断制御部120Aの形成されてない領域との境界(以下、「境界BD1」と称する。)において、組成が急峻に変化していてもよいし、組成が連続的に変化していてもよい。「組成が連続的に変化する境界」とは、例えば、プラズマ酸化によりSiN層122を選択的に酸化したときに形成される、組成がなだらかに変化する境界を指している。破断制御部120Aが上述したようなプラズマ酸化により形成されている場合、SiN層122の表面には凹凸がほとんど形成されないので、破断制御部120Aを設けたことによるTFT層13やEL層14への悪影響はない

[0038]

破断制御部120Bの形成されている領域と、破断制御部120Bの形成されてない領域との境界(以下、「境界BD2」と称する。)において、組成が急峻に変化していてもよいし、組成が連続的に変化していてもよい。「組成が連続的に変化する境界」とは、例えば、プラズマ酸化によりSiN層124を選択的に酸化したときに形成される、組成がなだらかに変化する境界を指している。破断制御部120Bが上述したようなプラズマ酸化により形成されている場合、SiN層124の表面には凹凸がほとんど形成されないので、破断制御部120Bを設けたことによるTFT層13やEL層14への悪影響はない

[0039]

発光パネル10が、図1に示したような長方形状となっており、かつ、発光パネル10の曲げ方向が発光パネル10の短手方向となっている場合には、各破断制御部120A,120Bは、発光パネル10の短手方向と交差(例えば直交)する方向に延在している。

なお、各破断制御部120Aは、図4、図5に示したようにストライプ状となっていてもよいし、ドット状となっていてもよいし、これらを組み合わせた形状となっていてもよい。各破断制御部120Aがドット状となっている場合には、複数の破断制御部120Aの配列方向が発光パネル10の曲げ方向と平行となっている。また、各破断制御部120Bは、図4、図5に示したようにストライプ状となっていてもよいし、ドット状となっていてもよいし、これらを組み合わせた形状となっていてもよい。各破断制御部120Bがドット状となっている場合には、複数の破断制御部120Bの配列方向が発光パネル10の曲げ方向と平行となっている。

[0040]

上部封止層15は、水分等のEL層14への侵入を防止することにより、発光パネル10の耐環境性を高めるための層である。上部封止層15は、例えば、EL層14上に、樹脂層15A、無機封止膜15B、樹脂層15C、無機封止膜15Dおよび樹脂層15Eをこの順に積層してなる積層体である。

[0041]

樹脂層15Aは、TFT層13およびEL層14によって生じた表面の凹凸を均す明にである。樹脂層15Aは、透光性を有する樹脂材料によって形成されている。樹脂ネスチレン系樹脂、ポリイミド樹脂、アクリル系樹脂、スチレン系樹脂、ポリエチレン、ポリエステル、またはシリコーン系樹脂とこれで形成されている。樹脂層15Cは、無機封止膜15Bと無機封止膜15Dによって挟まれた層内に設けられており、透光性を有する樹脂材料によって系樹脂、ポリイミド樹脂、アクリル系樹脂、スチレン系樹脂、ポリイミド樹脂、アクリル系樹脂、スチレン系樹脂、ポリン系樹脂、ポリエチレン、ポリエステル、またはシリコス系樹脂、ポリエチレン、ポリエステル・またはシリカ系の最高である。樹脂層15Eは、発光パネル10の発光面をれている。樹脂層15Eは、例えば、ポリイミド樹脂、アクリル系樹脂、スチレン系樹脂、ポリカ系をめの最表層である。樹脂層15Eは、アクリル系樹脂、スチレン系樹脂、ポリカ系を樹脂層15Eは、別えば、ポリイミド樹脂、アクリル系樹脂、スチレン系樹脂、ポリカ系を大力、ポリエチレン、ポリエステル、またはシリカ系を樹脂層15Eは、別などによって形成されている。樹脂層15Cおよび樹脂層15Eは、有機金属化合物あるいは無機化合物などからなる乾燥剤を含有する樹脂材料によって形成されていてもよい。

[0042]

無機封止膜15Bは、無機封止膜15Dと比べてEL層14寄りに設けられている。無機封止膜15Bは、水分等のEL層14への侵入を防止するための層であり、例えば、アルミナ層151およびSiN層152を基板12A側からこの順に積層した複合層となっている。無機封止膜15Dは、無機封止膜15Bと比べて発光パネル10の最表面寄りに設けられている。無機封止膜15Dは、水分等のEL層14への侵入を防止するための層であり、例えば、アルミナ層153およびSiN層154を基板12A側からこの順に積層した複合層となっている。

[0043]

SiN層152は、発光領域10Aおよび非発光領域10Bの双方において、複数の破断制御部150Aを有している。つまり、各破断制御部150Aは、無機封止膜15Bの上面から下面に到達しない深さにまで形成されている。従って、アルミナ層151は、発光パネル10を全面に渡って覆っている。SiN層154は、発光領域10Aおよび非発光領域10Bの双方において、複数の破断制御部150Bを有している。つまり、各破断制御部150Bは、無機封止膜15Dの上面から下面に到達しない深さにまで形成されている。従って、アルミナ層153は、発光パネル10を全面に渡って覆っている。

[0044]

発光パネル10が、図1に示したような長方形状となっており、かつ、発光パネル10の曲げ方向が発光パネル10の長手方向となっているとする。このとき、各破断制御部150A,150Bは、発光パネル10の長手方向と交差(例えば直交)する方向に延在している。各破断制御部150A,150Bは、他の箇所と比べて相対的に機械的強度の低

10

20

30

40

10

20

30

40

50

い無機材料によって形成されている。

[0045]

SiN層152が窒化ケイ素(SiN×)で形成されている場合、各破断制御部150 Aが酸窒化ケイ素(SiO×Ny)もしくは酸化ケイ素(SiO×)で形成されている。このとき、SiN層152は、各破断制御部150 Aにおいて酸窒化ケイ素(SiO×Ny)もしくは酸化ケイ素(SiO×Nで形成されている。このとき、SiN層152は、例えば、窒化ケイ素(SiN×)で形成されている。このとき、SiN層152は、例えば、窒化ケイ素(SiO×)に変化させることにより形成される。SiN層154が窒化ケイ素(SiN×)で形成される。SiN層154が窒化ケイ素(SiN×)で形成されている場合、各破断制御部150Bが酸窒化ケイ素(SiO×Ny)もしくは酸化ケイ素(SiO×)で形成されている。このとき、SiN層154は、各破断制御部150Bにおいて酸窒化ケイ素(SiO×Ny)もしくは酸化ケイ素(SiO×)で形成され、他の箇所において窒化ケイ素(SiN×)で形成されている。このとき、SiN層154は、

[0046]

図6、図7は、上部封止層15の平面構成の一例を表したものである。複数の破断制御部150Aと複数の破断制御部150Aと、複数の破断制御部150Bとは、積層方向において互いに非対向の位置に設けられている。複数の破断制御部150Aと、複数の破断制御部150Bとは、上部封止層15の法線方向から見たときに、できるだけ離れて配置されていることが好ましい。複数の破断制御部150Aと、複数の破断制御部150Aと、複数の破断制御部150Aと、複数の破断制御部150Aと、複数の破断制御部150Aと、複数の破断制御部150Aと、複数の破断制御部150Aと、複数の破断制御部150Bとは、上部封止層150Aと、複数の破断制御部150Bとは、上部封止層15の法線方向から見たときに、例えば、1mm程度、離れて配置されている。

[0047]

アルミナは、酸窒化ケイ素(SiOxNy)や酸化ケイ素(SiOx)と比較して、水分等のバリア性(透過防御性)が高い。そのため、各破断制御部150A,150BがSiN層152,154に設けられている場合であっても、アルミナ層151,153によって、水分等のバリア性(透過防御性)が保たれる。また、発光パネル10が曲屈曲もしくは湾曲され、無機封止膜15B,15Dが破断制御部150A,150Bにおいて短いに対向するした場合であっても、破断制御部150A,150Bが積層方向において互いに対向する位置に設けられた場合と比較して、樹脂層15E側からEL層14へ至る水分等の経路として、上部封止層15の法線方向から見たときの破断制御部150Aと破断制御部150Bとの距離分長くなる。このため、発光パネル10の耐環境性を高めることができる。

[0048]

破断制御部150Aの形成されている領域と、破断制御部150Aの形成されてない領域との境界(以下、「境界BD3」と称する。)において、組成が急峻に変化していてもよいし、組成が連続的に変化していてもよい。破断制御部150Bの形成されている領域と、破断制御部150Bの形成されてない領域との境界(以下、「境界BD4」と称する。)において、組成が急峻に変化していてもよいし、組成が連続的に変化していてもよい

[0049]

発光パネル10が、図1に示したような長方形状となっており、かつ、発光パネル10の曲げ方向が発光パネル10の短手方向となっている場合には、各破断制御部150A,150Bは、発光パネル10の短手方向と交差(例えば直交)する方向に延在している。なお、各破断制御部150Aは、図6、図7に示したようにストライプ状となっていてもよいし、ドット状となっていてもよいし、これらを組み合わせた形状となっていてもよい

。各破断制御部150Aがドット状となっている場合には、複数の破断制御部150Aの配列方向が発光パネル10の曲げ方向と平行となっている。また、各破断制御部150Bは、図6、図7に示したようにストライプ状となっていてもよいし、ドット状となっていてもよい。各破断制御部150Bがドット状となっている場合には、複数の破断制御部150Bの配列方向が発光パネル10の曲げ方向と平行となっている。

[0050]

[製造方法]

次に、破断制御部120Aの製造方法について説明する。図8(A)~図8(E)は、本実施の形態に係る発光パネル10の下部封止層12に含まれる無機封止膜12Bの製造過程の一例を表したものである。

[0051]

まず、 基板 1 2 A を用意する(図 8 (A))。次に、基板 1 2 A 上に、アルミナ層 1 2 1 および S i N 層 1 2 2 をこの順に形成する(図 8 (B))。次に、 S i N 層 1 2 2 上に 、所定の箇所に開口120aを有するレジスト層120を形成する(図8(C))。次に 、例えばプラズマ酸化を用いて、SiN層122のうち、開口120aの底面に露出して いる箇所を酸化する(図8(D))。このとき、例えば、少なくとも一部に酸素を含むプ ロセスガス(例えば、O2、ArおよびO2、または、KrおよびO2など)を用いた酸化 性プラズマによって、プラズマ酸化を行う。これにより、SiN層122のうち、開口1 20aの底面に露出している箇所の組成が、例えば、SiNから、酸窒化ケイ素(SiO × N y)または酸化ケイ素 (S i O x) に変化する。 S i N 層 1 2 2 のうち組成の変化し た箇所が破断制御部120Aとなる。これにより、無機封止膜12Bが形成される。この とき、破断制御部120Aは、無機封止膜12Bを上面から下面まで貫いて形成されてい ない。アルミナ層121がプラズマ酸化のストップ層として機能するためである。つまり 、破断制御部120Aの深さは、アルミナ層121によって制御される。その後、レジス ト層120を除去する(図8(E))。このようにして、無機封止膜12Bの所定の箇所 に破断制御部120Aが形成される。なお、破断制御部120B,150A,150Bに ついても、上記と同様の方法によってSiN層124,152,154に形成することが 可能である。

[0052]

次に、本実施の形態に係る発光パネル10の効果について説明する。

[0053]

一般的に、有機 E L 素子を用いたフレキシブルな発光パネルでは、耐環境性を高めるために無機封止膜が用いられる。その無機封止膜の破断は偶発的で、その発生位置は制御されていない。そのため、発光パネルを曲げたときに、無機封止膜に応力がかかり、マイクロクラックなどを起点として偶発的に破断する可能性がある。その場合、無機封止膜の破断によって生じるリークパスの距離は制御されていない。そのため、無機封止膜の破断後には発光パネルの信頼性が保証できなくなるという問題があった。

[0054]

一方、本実施の形態では、下部封止層12および上部封止層15内の無機封止膜12B 、12D,15B,15Dには、他の箇所と比べて相対的に機械的強度の低い無機材料によって形成された破断制御部120A,120B,150A,150Bが設けられている。破断制御部120A,120B,150Bは、無機封止膜12B,12D,15B,15Dにおいて、引っ張り応力印加時の破断強度が相対的に低くなっている。例えば、無機封止膜15Bが、各破断制御部150Aにおいて酸窒化ケイ素(SiO×Ny)もしくは酸化ケイ素(SiO×)で形成され、他の箇所において窒化ケイ素(SiN×)で形成されている。そのため、無機封止膜12B,12D,15B,15Dに応力がかかった際に、マイクロクラックが破断制御部120A,120B,150A,150Bに生じやすい。従って、発光パネル10では、破断制御部120A,120B,150A,

10

20

30

40

部封止層15および下部封止層12に生じ得る破断箇所が破断制御部120A,120B,150A,150Bによって制御されるので、封止層に生じ得る破断箇所が制御されていない場合と比べて、有機EL素子11Bに水分が到達しがたい。従って、封止層に生じ得る破断箇所が制御されていない場合と比べて、耐環境性を改善することができる。また、破断が生じる箇所が破断制御部120A,120B,150A,150Bによって制御されるので、発光パネル10の信頼性を保証することができる。

[0055]

また、本実施の形態では、下部封止層12において、各破断制御部120A,120Bは、積層方向において互いに非対向の位置に設けられている。同様に、上部封止層15において、各破断制御部150A,150Bは、積層方向において互いに非対向の位置に設けられている。これにより、破断制御部120A,120Bを起点として破断が生じた場合に、外部から有機EL素子11Bに水分が到達するためのパス(リークパス)は、破断制御部120A,150Bを起点として破断が生じた長さとなる。同様に、破断制御部150A,150Bを起点として破断が生じた場合に、外部から有機EL素子11Bに水分が到達するためのパス(リークパス)は、破断制御部150A。150Bまたは各破断制御部150A,150Bが積層方向において互いに対向する位置に設けられている場合と比べて、リークパスが長くなっている。従って、リークパスが長くなった分だけ、耐暖性を改善することができる。また、リークパスが各破断制御部120A,120Bまたは各破断制御部150A,150Bによって規定されているので、発光パネル10の信頼性を保証することができる。

[0056]

また、本実施の形態では、破断制御部 1 2 0 A , 1 2 0 B , 1 5 0 A , 1 5 0 B は、発光パネル 1 0 の長軸方向と交差する方向に延在している。これにより、破断制御部 1 2 0 A , 1 2 0 B , 1 5 0 A , 1 5 0 B を起点として破断が生じやすくなっている。このように、本実施の形態では、下部封止層 1 2 および上部封止層 1 5 に生じ得る破断箇所が破断制御部 1 2 0 A , 1 2 0 B , 1 5 0 B によって制御されるので、封止層に生じ得る破断箇所が制御されていない場合と比べて、有機 E L 素子 1 1 B に水分が到達しがたい。従って、封止層に生じ得る破断箇所が制御されていない場合と比べて、耐環境性を改善することができる。また、破断が生じる箇所が破断制御部 1 2 0 A , 1 2 0 B , 1 5 0 A , 1 5 0 B によって制御されるので、発光パネル 1 0 の信頼性を保証することができる

[0057]

また、本実施の形態では、破断制御部120A,120B,150A,150Bが、無機封止膜12B,12D,15B,15Dの上面から下面に到達しない深さにまで形成されており、アルミナ層153が、発光パネル10を全面に渡って覆っている。これにより、破断制御部120A,120B,150A,150Bが無機封止膜12B,12D,15B,15Dを貫通している場合と比較して、水分等のEL層14への侵入を防止する機能を低下させることが無い。従って、発光パネル10の信頼性を保証することができる。

[0058]

また、本実施の形態において、例えば、プラズマ酸化によりSiN層122,124を選択的に酸化することにより、境界BD1,BD2の組成を連続的に変化させた場合には、SiN層122,124の表面には凹凸がほとんど形成されない。これにより、破断制御部120A,120Bを設けたことによるTFT層13やEL層14への悪影響をなくすことができる。

[0059]

また、本実施の形態において、各破断制御部 1 2 0 A , 1 2 0 B , 1 5 0 A , 1 5 0 B が酸窒化ケイ素(SiOxNy)もしくは酸化ケイ素(SiOx)で形成され、SiN層 1 2 2 , 1 2 4 , 1 5 2 , 1 5 4 のうち破断制御部 1 2 0 A , 1 2 0 B , 1 5 0 A , 1 5 0 B 以外の箇所が窒化ケイ素(SiNx)で形成されている場合には、破断制御部 1 2 0

10

20

30

40

A , 1 2 0 B , 1 5 0 A , 1 5 0 Bを起点として破断が生じやすくなっている。このように、本実施の形態では、上部封止層 1 5 および下部封止層 1 2 に生じ得る破断箇所が破断制御部 1 2 0 A , 1 5 0 B , 1 5 0 A , 1 5 0 B によって制御されるので、封止層に生じ得る破断箇所が制御されていない場合と比べて、有機 E L 素子 1 1 B に水分が到達しがたい。さらに、発光パネル 1 0 の全面に渡ってアルミナ層 1 2 1 , 1 2 3 , 1 5 1 , 1 5 3 が形成されているので、水分等のバリア性を損なうことが無い。従って、封止層に生じ得る破断箇所が制御されていない場合と比べて、耐環境性を改善することができる。また、破断が生じる箇所が破断制御部 1 2 0 A , 1 2 0 B , 1 5 0 A , 1 5 0 B によって制御されるので、発光パネル 1 0 の信頼性を保証することができる。

[0060]

また、本実施の形態において、各破断制御部120A,120Bが上述したような酸化処理により形成されている場合には、無機封止膜12B,12Dの表面には凹凸がほとんど形成されない。これにより、破断制御部120A,120Bを設けたことによってTFT層13やEL層14に悪影響を及ぼすことがない。

[0061]

また、本実施の形態では、下部封止層12において、2つの無機封止膜12B,12Dによって挟まれた層内に、樹脂層12Cが設けられている。また、上部封止層15において、2つの無機封止膜15B,15Dによって挟まれた層内に、樹脂層15Cが設けられている。これら樹脂層12C,15Cは、破断制御部120A,120B,150A,150Bに破断が生じたときのリークパスの一部を構成している。ここで、樹脂層12C、15Cが、有機金属化合物あるいは無機化合物などからなる乾燥剤を含有する樹脂材料によって形成されている場合には、樹脂層12C,15Cの吸湿性によって、リークパスを通過する水分の進行を遅らせることができる。従って、樹脂層がリークパスに設けられていない場合と比べて、耐環境性を改善することができる。

[0062]

< 2 . 第1の実施の形態の変形例>

[0063]

[変形例A]

上記実施の形態において、各無機封止膜12B,12Dは、例えば、図9に示したように、窒化ケイ素(SiNx)層の一部に、複数の破断制御部12b,12dが形成された構成となっていてもよい。

[0064]

各破断制御部12bは、無機封止膜12Bの上面から下面に到達しない深さにまで形成されている。従って、無機封止膜12Bにおいて、各破断制御部12bを除いた部分が、発光パネル10を全面に渡って覆っている。各破断制御部12dは、無機封止膜12Dの上面から下面に到達しない深さにまで形成されている。従って、無機封止膜12Dにおいて、各破断制御部12dを除いた部分が、発光パネル10を全面に渡って覆っている。

[0065]

発光パネル10が、図1に示したような長方形状となっており、かつ、発光パネル10の曲げ方向が発光パネル10の長手方向となっているとする。このとき、各破断制御部12b,12dは、発光パネル10の長手方向と交差(例えば直交)する方向に延在している。各破断制御部12b,12dは、他の箇所と比べて相対的に機械的強度の低い無機材料によって形成されている。

[0066]

無機封止膜12Bが窒化ケイ素(SiNx)で形成されている場合、各破断制御部12bが酸窒化ケイ素(SiOxNy)もしくは酸化ケイ素(SiOx)で形成されている。このとき、無機封止膜12Bは、各破断制御部12bにおいて酸窒化ケイ素(SiOxNy)もしくは酸化ケイ素(SiOx)で形成され、他の箇所において窒化ケイ素(SiNx)で形成されている。このとき、無機封止膜12Bは、例えば、窒化ケイ素(SiNx)膜の一部を酸化により酸窒化ケイ素(SiOxNy)もしくは酸化ケイ素(SiOx)

10

20

30

40

に変化させることにより形成される。無機封止膜 12Dが窒化ケイ素(SiNx)で形成されている場合、各破断制御部 12dが酸窒化ケイ素(SiOxNy)もしくは酸化ケイ素(SiOx)で形成されている。このとき、無機封止膜 12Dは、各破断制御部 12dにおいて酸窒化ケイ素(SiOx)が形成されている。このとき、無機封止膜 12Dは、の箇所において窒化ケイ素(SiNx)で形成されている。このとき、無機封止膜 12Dは、例えば、窒化ケイ素(SiNx)膜の一部を酸化により酸窒化ケイ素(SiOxNy)もしくは酸化ケイ素(SiOx)に変化させることにより形成される。

[0067]

下部封止層12において、複数の破断制御部12bと、複数の破断制御部12dとは、積層方向において互いに非対向の位置に設けられている。複数の破断制御部12bと、複数の破断制御部12bとは、例えば、下部封止層12の法線方向から見たときに、できるだけ離れて配置されていることが好ましい。複数の破断制御部12bと、複数の破断制御部12bと、複数の破断制御部12bと、複数の破断制御部12bと、複数の破断制御部12dとの対向方向は、例えば、曲げ方向と平行となっている。基板12A、樹脂層12Cおよび樹脂層12Eが上述の乾燥剤を含有する樹脂材料によって形成されている場合、複数の破断制御部12bと、複数の破断制御部12dとは、下部封止層12の法線方向から見たときに、例えば、1mm程度、離れて配置されている。

[0068]

室化ケイ素(SiNx)は、酸窒化ケイ素(SiOxNy)や酸化ケイ素(SiOx)と比較して、水分等のバリア性(透過防御性)が高い。そのため、各破断制御部12b,12dが無機封止膜12B,12Dに設けられている場合であっても、各破断制御部12b,12dの直下の部分を含む窒化ケイ素(SiNx)層によって、水分等のバリア性(透過防御性)が保たれる。また、発光パネル10が曲屈曲もしくは湾曲され、無機封止膜12B,12Dが破断制御部12b,12dにおいて破断した場合であっても、破断制御部12b,12dが積層方向において互いに対向する位置に設けられた場合と比較して、基板12A側からEL層14へ至る水分等の経路として、下部封止層12の法線方向から見たときの破断制御部12bと破断制御部12dとの距離分長くなる。このため、発光パネル10の耐環境性を高めることができる。

[0069]

破断制御部12bの形成されている領域と、破断制御部12bの形成されてない領域との境界(以下、「境界BD1」と称する。)において、組成が急峻に変化していてもよいし、組成が連続的に変化していてもよい。「組成が連続的に変化する境界」とは、例えば、プラズマ酸化により無機封止膜12Bを選択的に酸化したときに形成される、組成がなだらかに変化する境界を指している。破断制御部12bが上述したようなプラズマ酸化により形成されている場合、無機封止膜12Bの表面には凹凸がほとんど形成されないので、破断制御部12bを設けたことによるTFT層13やEL層14への悪影響はない。

[0070]

破断制御部12dの形成されている領域と、破断制御部12dの形成されてない領域との境界(以下、「境界BD2」と称する。)において、組成が急峻に変化していてもよいし、組成が連続的に変化していてもよい。「組成が連続的に変化する境界」とは、例えば、プラズマ酸化により無機封止膜12Dを選択的に酸化したときに形成される、組成がなだらかに変化する境界を指している。破断制御部12dが上述したようなプラズマ酸化により形成されている場合、無機封止膜12Dの表面には凹凸がほとんど形成されないので、破断制御部12dを設けたことによるTFT層13やEL層14への悪影響はない。

[0071]

発光パネル10が、図1に示したような長方形状となっており、かつ、発光パネル10の曲げ方向が発光パネル10の短手方向となっている場合には、各破断制御部12b,12dは、発光パネル10の短手方向と交差(例えば直交)する方向に延在している。なお、各破断制御部12bは、ストライプ状となっていてもよいし、ドット状となっていても

10

20

30

40

10

20

30

40

50

よいし、これらを組み合わせた形状となっていてもよい。各破断制御部 1 2 b がドット状となっている場合には、複数の破断制御部 1 2 b の配列方向が発光パネル 1 0 の曲げ方向と平行となっている。また、各破断制御部 1 2 d は、ストライプ状となっていてもよいし、ドット状となっていてもよいし、これらを組み合わせた形状となっていてもよい。各破断制御部 1 2 d の配列方向が発光パネル 1 0 の曲げ方向と平行となっている。

[0072]

また、上記実施の形態において、各無機封止膜15B,15Dは、例えば、図9に示したように、窒化ケイ素(SiNx)層の一部に、複数の破断制御部15b,15dが形成された構成となっていてもよい。

[0073]

各破断制御部15bは、無機封止膜15Bの上面から下面に到達しない深さにまで形成されている。従って、無機封止膜15Bにおいて、各破断制御部15bを除いた部分が、発光パネル10を全面に渡って覆っている。各破断制御部15dは、無機封止膜15Dの上面から下面に到達しない深さにまで形成されている。従って、無機封止膜15Dにおいて、各破断制御部15dを除いた部分が、発光パネル10を全面に渡って覆っている。

[0074]

発光パネル10が、図1に示したような長方形状となっており、かつ、発光パネル10の曲げ方向が発光パネル10の長手方向となっているとする。このとき、各破断制御部15b,15dは、発光パネル10の長手方向と交差(例えば直交)する方向に延在している。各破断制御部15b,15dは、他の箇所と比べて相対的に機械的強度の低い無機材料によって形成されている。

[0075]

無機封止膜15Bが窒化ケイ素(SiNx)で形成されている場合、各破断制御部15bが酸窒化ケイ素(SiOxNy)もしくは酸化ケイ素(SiOx)で形成されている。このとき、無機封止膜15Bは、各破断制御部15bにおいて酸窒化ケイ素(SiOxNy)もしくは酸化ケイ素(SiOx)で形成され、他の箇所において窒化ケイ素(SiNx)で形成されている。このとき、無機封止膜15Bは、例えば、窒化ケイ素(SiNx)膜の一部を酸化により酸窒化ケイ素(SiOxNy)もしくは酸化ケイ素(SiOx)で形成される。無機封止膜15Dが窒化ケイ素(SiNx)で形成されている場合、各破断制御部15dが酸窒化ケイ素(SiOxNy)もしくは酸化ケイ素(SiOx)で形成されている。このとき、無機封止膜15Dは、各破断制御部15dにおいて酸窒化ケイ素(SiOxNy)もしくは酸化ケイ素(SiOx)で形成されている。このとき、無機封止膜15Dは、例えば、窒化ケイ素(SiNx)膜の一部を酸化により酸窒化ケイ素(SiOxNy)もしくは酸化ケイ素(SiOxNy)もしくは酸化ケイ素(SiOx)に変化させることにより形成される。

[0076]

上部封止層15において、複数の破断制御部15bと、複数の破断制御部15dとは、積層方向において互いに非対向の位置に設けられている。複数の破断制御部15bと、複数の破断制御部15bとは、例えば、上部封止層15の法線方向から見たときに、できるだけ離れて配置されていることが好ましい。複数の破断制御部15bと、複数の破断制御部15bと、複数の破断制御部15bと、複数の破断制御部15bと、複数の破断制御部15bと、複数の破断制御部15bと、複数の破断制御部15bと、複数の破断制御部15bと、複数の破断制御部15bと、複数の破断制御部15bと、複数の破断制御部15bと、複数の破断制御部15bと、複数の破断制御部15dとは、上部封止層15の法線方向から見たときに、例えば、1mm程度、離れて配置されている。

[0077]

窒化ケイ素(SiNx)は、酸窒化ケイ素(SiOxNy)や酸化ケイ素(SiOx)と比較して、水分等のバリア性(透過防御性)が高い。そのため、各破断制御部15b,

15 d が無機封止膜15 B , 15 D に設けられている場合であっても、各破断制御部15 b , 15 d の直下の部分を含む窒化ケイ素(SiNx)層によって、水分等のバリア性(透過防御性)が保たれる。また、発光パネル10 が曲屈曲もしくは湾曲され、無機封止膜15 B , 15 D が破断制御部15 b , 15 d において破断した場合であっても、破断制御部15 b , 15 d が積層方向において互いに対向する位置に設けられた場合と比較して、樹脂層15 E 側から E L 層 14 へ至る水分等の経路として、上部封止層15 の法線方向から見たときの破断制御部15 b と破断制御部15 d との距離分長くなる。このため、発光パネル10 の耐環境性を高めることができる。

[0078]

破断制御部15bの形成されている領域と、破断制御部15bの形成されてない領域との境界(以下、「境界BD3」と称する。)において、組成が急峻に変化していてもよいし、組成が連続的に変化していてもよい。「組成が連続的に変化する境界」とは、例えば、プラズマ酸化により無機封止膜15Bを選択的に酸化したときに形成される、組成がなだらかに変化する境界を指している。破断制御部15bが上述したようなプラズマ酸化により形成されている場合、無機封止膜15Bの表面には凹凸がほとんど形成されないので、破断制御部15bを設けたことによるTFT層13やEL層14への悪影響はない。

[0079]

破断制御部15dの形成されている領域と、破断制御部15dの形成されてない領域との境界(以下、「境界BD4」と称する。)において、組成が急峻に変化していてもよいし、組成が連続的に変化していてもよい。「組成が連続的に変化する境界」とは、例えば、プラズマ酸化により無機封止膜15Dを選択的に酸化したときに形成される、組成がなだらかに変化する境界を指している。破断制御部15dが上述したようなプラズマ酸化により形成されている場合、無機封止膜15Dの表面には凹凸がほとんど形成されないので、破断制御部15dを設けたことによるTFT層13やEL層14への悪影響はない。

[0800]

発光パネル10が、図1に示したような長方形状となっており、かつ、発光パネル10の曲げ方向が発光パネル10の短手方向となっている場合には、各破断制御部15b,15dは、発光パネル10の短手方向と交差(例えば直交)する方向に延在している。なお、各破断制御部15bは、ストライプ状となっていてもよいし、ドット状となっていてもよい。各破断制御部15bがドット状となっている場合には、複数の破断制御部15bの配列方向が発光パネル10の曲げ方向と平行となっている。また、各破断制御部15dは、ストライプ状となっていてもよいし、ドット状となっていてもよいし、これらを組み合わせた形状となっていてもよい。各破断制御部15dがドット状となっている場合には、複数の破断制御部15dの配列方向が発光パネル10の曲げ方向と平行となっている。

[0081]

[製造方法]

次に、破断制御部12bの製造方法について説明する。図10(A)~図10(E)は、本変形例に係る発光パネル10の下部封止層12に含まれる無機封止膜12Bの製造過程の一例を表したものである。

[0082]

まず、基板 1 2 A を用意する(図 1 0 (A))。次に、基板 1 2 A 上に、例えば窒化ケイ素 (S i N x) を成膜することにより、無機封止膜 1 2 B を形成する(図 1 0 (B))。次に、無機封止膜 1 2 B 上に、所定の箇所に開口 1 2 0 a を有するレジスト層 1 2 0 を形成する(図 1 0 (C))。次に、例えばプラズマ酸化を用いて、無機封止膜 1 2 B のうち、開口 1 2 0 a の底面に露出している箇所を酸化する(図 1 0 (D))。このとき、例えば、少なくとも一部に酸素を含むプロセスガス(例えば、 O_2 、 A r および O_2 、 または、 K r および O_2 など)を用いた酸化性プラズマによって、プラズマ酸化を行う。これにより、無機封止膜 1 2 B のうち、開口 1 2 0 a の底面に露出している箇所の組成が、例えば、窒化ケイ素 (S i N x) から、酸窒化ケイ素 (S i O x N y) または酸化ケイ素 (S

10

20

30

40

10

20

30

40

50

i O x)に変化する。無機封止膜12Bのうち組成の変化した箇所が破断制御部12bとなる。このとき、破断制御部12bは、例えば、図10(D)に示したように、無機封止膜12Bの上面から下面に到達しない深さにまで形成されている。その後、レジスト層120を除去する(図10(E))。このようにして、無機封止膜12Bの所定の箇所に破断制御部12bが形成される。なお、破断制御部12d,15b,15dについても、上記と同様の方法によって無機封止膜12D,15B,15Dに形成することが可能である

[0083]

次に、本変形例に係る発光パネル10の効果について説明する。

[0084]

本変形例では、上部封止層15および下部封止層12内の無機封止膜12B,12D,15B,15Dには、他の箇所と比べて相対的に機械的強度の低い無機材料によって形成された破断制御部12b,12d,15b,15dが設けられている。破断制御部12b,12d,15b,15b,15B,15Dにおいて、引っ張り応力印加時の破断強度が相対的に低くなっている。そのため、無機封止膜12B,12D,15B,15Dにおいて、引12d,15B,15Dに応力がかかった際に、マイクロクラックが破断制御部12b,12d,15b,15dに生じやすい。従って、発光パネル10では、破断制御部12b,12d,15b,15dによび下部封止層12に生じ得る破断箇所が破断制御部12b,12d,15b,15dによって制御されるので、封止層に生じ得る破断箇所が制御されていない場合と比べて、耐環境性を改善することができる。また、破断が生じる箇所が破断制御部12b,12d,15b,15dによって制御されるので、発光パネル10の信頼性を保証することができる。

[0085]

また、本変形例では、下部封止層12において、各破断制御部12b,12dは、積層方向において互いに非対向の位置に設けられている。同様に、上部封止層15においてる。 同様に、上部封止層15においてる。 同様に、上部封止層15においてる。 これにより、破断制御部12b,12dを起点として破断が生じた場合に、外部から有機EL素子11Bに水分が到達するためのパス(リークパス)は、破断制御部12bを起点として破断が生じた場合に、外部から有機EL素子11Bに水分が到達するためのパス(リークパス)は、破断制御部15b,15dを起点して破断が生じた場合に、外部から有機EL素子11Bに水分が到達するためのパス(リークパス)は、破断制御部15bと破断制御部15b,15dが積層方向において互いに対向する位置に設けられている場合と比べて、リークパスが長くなった分だけ、耐環境性を改善することができる。また、リークパスが各破断制御部12b,12dまたは各破断制御部15b,15dによって規定されているので、発光パネル10の信頼性を保証することができる。

[0086]

また、本変形例では、各破断制御部12b,12d,15b,15dは、発光パネル10の長軸方向と交差する方向に延在している。これにより、破断制御部12b,12d,15b,15dを起点として破断が生じやすくなっている。このように、本変形例では、上部封止層15および下部封止層12に生じ得る破断箇所が破断制御部12b,12d,15b,15dによって制御されるので、封止層に生じ得る破断箇所が制御されていない場合と比べて、耐環境性を改善することができる。また、破断が生じる箇所が破断制御部12b,12d,15b,15dによって制御されるので、発光パネル10の信頼性を保証することができる。

[0087]

また、本変形例では、破断制御部12b,12d,15b,15dが、無機封止膜12

B , 1 2 D , 1 5 B , 1 5 D の上面から下面に到達しない深さにまで形成されており、窒化ケイ素(SiNx)層が、発光パネル 1 0 を全面に渡って覆っている。これにより、破断制御部 1 2 b , 1 2 d , 1 5 b , 1 5 d が無機封止膜 1 2 B , 1 2 D , 1 5 B , 1 5 D を貫通している場合と比較して、水分等の E L 層 1 4 への侵入を防止する機能を低下させることが無い。従って、発光パネル 1 0 の信頼性を保証することができる。

[0088]

また、本変形例において、例えば、プラズマ酸化によりSIN層122,124を選択的に酸化することにより、境界BD1,BD2の組成を連続的に変化させた場合には、SIN層122,124の表面には凹凸がほとんど形成されない。これにより、破断制御部12b,12dを設けたことによるTFT層13やEL層14への悪影響をなくすことができる。

[0089]

また、本変形例において、各破断制御部12b,12d,15b,15dが酸窒化ケイ素(SiOxNy)もしくは酸化ケイ素(SiOx)で形成され、無機封止膜12B,12D,15B,15Dのうち破断制御部12b,12d,15b,15d以外の箇所が窒化ケイ素(SiNx)で形成されている場合には、破断制御部12b,12d,15b,15dを起点として破断が生じやすくなっている。このように、本変形例では、上部封止層15および下部封止層12に生じ得る破断箇所が破断制御部12b,12d,15b,15dによって制御されるので、封止層に生じ得る破断箇所が制御されていない場合と比べて、有機EL素子11Bに水分が到達しがたい。さらに、発光パネル10の全面に渡って窒化ケイ素(SiNx)層が形成されているので、水分等のバリア性を損なうことがたい。従って、封止層に生じ得る破断箇所が制御されていない場合と比べて、耐環境性を改善することができる。また、破断が生じる箇所が破断制御部12b,12d,15b,15dによって制御されるので、発光パネル10の信頼性を保証することができる。

[0090]

また、本変形例において、各破断制御部12b,12dが上述したような酸化処理により形成されている場合には、無機封止膜12B,12Dの表面には凹凸がほとんど形成されない。これにより、破断制御部12b,12dを設けたことによってTFT層13やEL層14に悪影響を及ぼすことがない。

[0091]

また、本変形例では、下部封止層12において、2つの無機封止膜12B,12Dによって挟まれた層内に、樹脂層12Cが設けられている。また、上部封止層15において、2つの無機封止膜15B,15Dによって挟まれた層内に、樹脂層15Cが設けられている。これら樹脂層12C,15Cは、破断制御部12b,12d,15b,15dに破断が生じたときのリークパスの一部を構成している。ここで、樹脂層12C、15Cが、有機金属化合物あるいは無機化合物などからなる乾燥剤を含有する樹脂材料によって形成されている場合には、樹脂層12C,15Cの吸湿性によって、リークパスを通過する水分の進行を遅らせることができる。従って、樹脂層がリークパスに設けられていない場合と比べて、耐環境性を改善することができる。

[0092]

[変形例B]

上記変形例 A において、各無機封止膜 1 2 B , 1 2 D , 1 5 B , 1 5 D は、例えば、図 1 1 に示したように、破断制御部 1 2 b , 1 2 d , 1 5 b , 1 5 d の代わりに、破断制御部 1 2 g , 1 2 i , 1 5 g , 1 5 i を有していてもよい。

[0093]

このとき、無機封止膜12Bは、例えば、図11、図12に示したように、破断制御部12g以外の領域に、他の箇所(破断制御部12g)と比べて相対的に圧縮応力の高い圧縮応力部12fを有している。つまり、破断制御部12gには圧縮応力が生じていないか、または、破断制御部12gに生じている圧縮応力が圧縮応力部12fに生じている圧縮応力よりも小さくなっている。言い換えると、無機封止膜12Bにおいて、圧縮応力部1

10

20

30

40

2 f では、他の箇所と比べて相対的に圧縮応力が高くなっている。

[0094]

また、無機封止膜12Dは、例えば、図11、図13に示したように、破断制御部12 i以外の領域に、他の箇所(破断制御部12i)と比べて相対的に圧縮応力の高い圧縮応 力部12hを有している。つまり、破断制御部12iには圧縮応力が生じていないか、ま たは、破断制御部12iに生じている圧縮応力が圧縮応力部12hに生じている圧縮応力 よりも小さくなっている。言い換えると、無機封止膜12Dにおいて、圧縮応力部12h では、他の箇所と比べて相対的に圧縮応力が高くなっている。

[0095]

また、無機封止膜15Bは、例えば、図11、図14に示したように、破断制御部15g以外の領域に、他の箇所(破断制御部15g)と比べて相対的に圧縮応力の高い圧縮応力部15fを有している。つまり、破断制御部15gには圧縮応力が生じていないか、または、破断制御部15gに生じている圧縮応力が圧縮応力部15fに生じている圧縮応力よりも小さくなっている。言い換えると、無機封止膜15Bにおいて、圧縮応力部15fでは、他の箇所と比べて相対的に圧縮応力が高くなっている。

[0096]

また、無機封止膜15Dは、例えば、図11、図15に示したように、破断制御部15 i以外の領域に、他の箇所(破断制御部15i)と比べて相対的に圧縮応力の高い圧縮応 力部15hを有している。つまり、破断制御部15iには圧縮応力が生じていないか、ま たは、破断制御部15iに生じている圧縮応力が圧縮応力部15hに生じている圧縮応力 よりも小さくなっている。言い換えると、無機封止膜15Dにおいて、圧縮応力部15h では、他の箇所と比べて相対的に圧縮応力が高くなっている。

[0097]

圧縮応力部12 f ,12 h ,15 f ,15 h は、不純物の導入により圧縮応力の高められた領域である。圧縮応力部12 f ,12 h ,15 f ,15 h は、例えば、不純物としてイオンが導入されたことより圧縮応力の高められた領域である。このイオン導入は、無機封止膜12 B ,12 D ,15 B ,15 D を上面から下面まで貫いてされていてもよいし、無機封止膜12 B ,12 D ,15 B ,15 D の上面から下面に到達しない深さにまで導入されていてもよい。注入されるイオンとしては、例えば、Ti、Al、CrまたはLiが好適である。これらのイオンの共有結合半径は、Tiでは16 0 p m、Alでは12 1 p m、Crでは13 9 p m、Liでは12 8 p m となっており、酸素の共有結合半径(66 p m)よりも大きいからである。また、注入されたこれらのイオンは、SiO $_2$ から酸素を引き抜いて、安定化するためである。

[0098]

圧縮応力部 1 2 f , 1 2 h , 1 5 f , 1 5 h の形成されている領域と、圧縮応力部 1 2 f , 1 2 h , 1 5 f , 1 5 h の形成されてない領域(破断制御部 1 2 g , 1 2 i , 1 5 g , 1 5 i)との境界において、組成が急峻に変化していてもよいし、組成が連続的に変化していてもよい。

[0099]

また、無機封止膜12B,12Dが上述したようなイオンの導入により形成されている場合には、無機封止膜12B,12Dの表面には凹凸がほとんど形成されない。これにより、圧縮応力部12f,12hを設けたことによってTFT層13やEL層14に悪影響を及ぼすことがない。

[0100]

相対的に高い圧縮応力のかかっている部分(圧縮応力部12 f , 12 h , 15 f , 15 h) では、引っ張り応力印加時の破断強度が相対的に高くなっている。言い換えると、圧縮応力のかかっていないか、または、相対的に低い圧縮応力のかかっている部分(破断制御部12g,12 i , 15 g , 15 D に応力がかかった際に、マイクロクラックが破断制御部12g,12 i , 15 g , 15 i に生じやすい。

10

20

30

40

従って、破断制御部12g,12i,15g,15iを起点として破断が生じやすくなっている。このように、本変形例では、上部封止層15および下部封止層12に生じ得る破断箇所が破断制御部12g,12i,15g,15iによって制御されるので、封止層に生じ得る破断箇所が制御されていない場合と比べて、有機EL素子11Bに水分が到達しがたい。従って、封止層に生じ得る破断箇所が制御されていない場合と比べて、耐環境性を改善することができる。また、破断が生じる箇所が破断制御部12g,12i,15g,15iによって制御されるので、発光パネル10の信頼性を保証することができる。

[0101]

また、本変形例に係る発光パネル10では、下部封止層12において、2つの無機封止膜12B,12Dによって挟まれた層内に、樹脂層12Cが設けられている。また、上部封止層15において、2つの無機封止膜15B,15Dによって挟まれた層内に、樹脂層15Cが設けられている。これら樹脂層12C,15Cは、破断制御部12g,12i,15g,15iに破断が生じたときのリークパスの一部を構成している。ここで、樹脂層12C,15Cが、有機金属化合物あるいは無機化合物などからなる乾燥剤を含有する樹脂材料によって形成されている場合には、樹脂層12C,15Cの吸湿性によって、リークパスを通過する水分の進行を遅らせることができる。従って、樹脂層がリークパスに設けられていない場合と比べて、耐環境性を改善することができる。

[0102]

[変形例C]

上記変形例 A において、各無機封止膜 1 2 B , 1 2 D , 1 5 B , 1 5 D は、例えば、図 1 6 に示したように、破断制御部 1 2 b , 1 2 d , 1 5 b , 1 5 d の代わりに、破断制御部 1 2 n , 1 2 q , 1 5 n , 1 5 q を有していてもよい。

[0103]

このとき、無機封止膜 1 2 B は、破断制御部 1 2 n 以外の箇所に、圧縮応力部 1 2 mを有している。無機封止膜 1 2 D は、破断制御部 1 2 q 以外の箇所に、圧縮応力部 1 2 p を有している。無機封止膜 1 5 B は、破断制御部 1 5 n 以外の箇所に、圧縮応力部 1 5 mを有している。無機封止膜 1 5 D は、破断制御部 1 5 q 以外の箇所に、圧縮応力部 1 5 p を有している。

[0104]

さらに、樹脂層12Cは、圧縮応力部12mと接する箇所に収縮部12jを有している。樹脂層12Eは、圧縮応力部12pと接する箇所に収縮部12kを有している。樹脂層15Cは、圧縮応力部15mと接する箇所に収縮部15jを有している。樹脂層15Eは、圧縮応力部15pと接する箇所に収縮部15kを有している。

[0105]

つまり、本変形例では、下部封止層12は、無機封止膜12Bのうち所定の箇所(圧縮応力部12m)に選択的に圧縮応力を与える樹脂層12C(収縮部12j)を有している。これにより、収縮部12jが無機封止膜12Bの圧縮応力部12mに圧縮応力を与える。例えば、無機封止膜12B上に樹脂層を形成した後、その樹脂層のうち所定の箇所に選択的に光を照射することにより、光の照射された箇所が収縮し、収縮部12jとなる。収縮部12jは、その収縮の過程で、無機封止膜12Bの一部に圧縮応力を与える。その結果、無機封止膜12Bに圧縮応力部12mが形成される。

[0106]

下部封止層12は、さらに、無機封止膜12Dのうち所定の箇所(圧縮応力部12p)に選択的に圧縮応力を与える樹脂層12E(収縮部12k)を有している。これにより、樹脂層12Eが無機封止膜12Dの圧縮応力部12pに圧縮応力を与える。例えば、無機封止膜12D上に樹脂層を形成した後、その樹脂層のうち所定の箇所に選択的に光を照射することにより、光の照射された箇所が収縮し、収縮部12kとなる。収縮部12kは、その収縮の過程で、無機封止膜12Dの一部に圧縮応力を与える。その結果、無機封止膜12Dに圧縮応力部12pが形成される。

[0107]

50

10

20

30

10

20

30

40

50

上部封止層15は、無機封止膜15Bのうち所定の箇所(圧縮応力部15m)に選択的に圧縮応力を与える樹脂層15C(収縮部15j)を有している。これにより、樹脂層15Cが無機封止膜15Bの圧縮応力部15mに圧縮応力を与える。例えば、無機封止膜15B上に樹脂層を形成した後、その樹脂層のうち所定の箇所に選択的に光を照射することにより、光の照射された箇所が収縮し、収縮部15jとなる。収縮部15jは、その収縮の過程で、無機封止膜15Bの一部に圧縮応力を与える。その結果、無機封止膜15Bに圧縮応力部15mが形成される。

[0108]

上部封止層15は、さらに、無機封止膜15Dのうち所定の箇所(圧縮応力部15p)に選択的に圧縮応力を与える樹脂層15E(収縮部15k)を有している。これにより、樹脂層15Eが無機封止膜15Dの圧縮応力部15pに圧縮応力を与える。例えば、無機封止膜15D上に樹脂層を形成した後、その樹脂層のうち所定の箇所に選択的に光を照射することにより、光の照射された箇所が収縮し、収縮部15kとなる。収縮部15kは、その収縮の過程で、無機封止膜15Dの一部に圧縮応力を与える。その結果、無機封止膜15Dに圧縮応力部15pが形成される。

[0109]

圧縮応力部 1 2 m , 1 2 p , 1 5 m , 1 5 p の形成されている領域と、圧縮応力部 1 2 m , 1 2 p , 1 5 m , 1 5 p の形成されてない領域(破断制御部 1 2 n , 1 2 q , 1 5 n , 1 5 q)との境界において、組成は変化していない。そのため、この境界に起因する無機封止膜 1 2 B , 1 2 D , 1 5 B , 1 5 D の破断が生じ難い。従って、圧縮応力の違いによって無機封止膜 1 2 B , 1 2 D , 1 5 B , 1 5 D に破断を制御することが容易となる。

[0 1 1 0]

また、圧縮応力部12m,12pが収縮部12j,12kの作用によって形成されているだけなので、下部封止層12の表面には凹凸がほとんど形成されない。これにより、圧縮応力部12m,12p,15m,15pを設けたことによってTFT層13やEL層14に悪影響を及ぼすことがない。

[0111]

相対的に高い圧縮応力のかかっている部分(圧縮応力部12m,12p,15m,15p)では、引っ張り応力印加時の破断強度が相対的に高くなっている。言い換えると破断御部12n,12g,15n,15g)では、引っ張り応力印加時の破断強度が相対的に低い圧縮応力のかかっている部分(破断制の低くなっている。そのため、無機封止膜12B,12D,15B,15Dに応力がかかった際に、マイクロクラックが破断制御部12n,12g,15n,15gに生じやすくるで、破断制御部12n,12g,15n,15gを起点として破断が生じやすくるで、で、破断制御部12n,15gによって制御されるので、対止層に生じ得る破断箇所が制御されていない場合と比べて、有機EL素子11Bに水分が到達に生じ得る破断箇所が制御されていない場合と比べて、有機EL素子118に水分が到達にたい。従って、封止層に生じ得る破断箇所が制御されていない場合と比べて、耐環境性を改善することができる。また、破断が生じる箇所が破断制御部12n,12g,15n

[0112]

また、本変形例に係る発光パネル10では、下部封止層12において、2つの無機封止膜12B,12Dによって挟まれた層内に、樹脂層12Cが設けられている。また、上部封止層15において、2つの無機封止膜15B,15Dによって挟まれた層内に、樹脂層15Cが設けられている。これら樹脂層12C,15Cは、破断制御部12n,12 q,15n,15 q に破断が生じたときのリークパスの一部を構成している。このとき、樹脂層12C,15Cが、有機金属化合物あるいは無機化合物などからなる乾燥剤を含有する樹脂材料によって形成されている場合には、樹脂層12C,15Cの吸湿性によって、リークパスを通過する水分の進行を遅らせることができる。従って、樹脂層がリークパスに設けられていない場合と比べて、耐環境性を改善することができる。

[0113]

[変形例D]

上記実施の形態および変形例 A , B , C に係る下部封止層 1 2 において、例えば、図 1 7、図 1 8、図 1 9 , 図 2 0 に示したように、無機封止膜 1 2 B および樹脂層 1 2 C が省略されていてもよい。つまり、本変形例では、下部封止層 1 2 は、基板 1 2 A 上に、無機封止膜 1 2 D および樹脂層 1 2 E をこの順に積層してなる積層体である。さらに、上記実施の形態および変形例 A , B , C に係る上部封止層 1 5 において、例えば、図 1 7、図 1 8、図 1 9 , 図 2 0 に示したように、樹脂層 1 5 C および無機封止膜 1 5 D が省略されていてもよい。つまり、本変形例では、上部封止層 1 5 は、樹脂層 1 5 A 上に、無機封止膜 1 5 B および樹脂層 1 5 E をこの順に積層してなる積層体である。

[0114]

本変形例では、上記実施の形態および変形例 A , B , C と同様、下部封止層 1 2 および上部封止層 1 5 に生じ得る破断箇所が破断制御部 1 2 d , 1 2 i , 1 2 q , 1 5 b , 1 5 g , 1 5 n , 1 2 0 B , 1 5 0 A によって制御されている。これにより、封止層に生じ得る破断箇所が制御されていない場合と比べて、有機 E L 素子 1 1 B に水分が到達しがたい。従って、封止層に生じ得る破断箇所が制御されていない場合と比べて、耐環境性を改善することができる。また、破断が生じる箇所が破断制御部 1 2 d , 1 2 i , 1 2 q , 1 5 b , 1 5 g , 1 5 n , 1 2 0 B , 1 5 0 A によって制御されるので、発光パネル 1 0 の信頼性を保証することができる。

[0115]

[変形例E]

上記実施の形態および変形例 A ~ D において、下部封止層 1 2 において、無機封止膜 1 2 B , 1 2 D が省略されていてもよい。また、上記実施の形態および変形例 A ~ D において、上部封止層 1 5 において、無機封止膜 1 5 B , 1 5 D が省略されていてもよい。

[0116]

< 3 . 第 2 の実施の形態 >

[構成]

図21は、本開示の第2の実施の形態に係る発光装置1の概略構成の一例を表したものである。発光装置1は、例えば、発光パネル10、コントローラ20およびドライバ30を備えている。発光パネル10は、上記実施の形態および変形例A~Eに係る発光パネル10である。ドライバ30は、発光パネル10の外縁部分に実装されている。コントローラ20およびドライバ30は、外部から入力された映像信号Dinおよび同期信号Tinに基づいて、発光パネル10を駆動する。

[0117]

発光パネル10は、コントローラ20およびドライバ30によって各画素11がアクティブマトリクス駆動されることにより、外部から入力された映像信号Dinおよび同期信号Tinに基づく画像を表示する。

[0118]

各信号線DTLは、後述の水平セレクタ31の出力端と、書込トランジスタTr2のソースまたはドレインとに接続されている。各走査線WSLは、後述のライトスキャナ32の出力端と、書込トランジスタTr2のゲートとに接続されている。各電源線DSLは、コントローラ20に設けられた電源回路の出力端と、駆動トランジスタTr1のソースまたはドレインに接続されている。

[0119]

ドライバ30は、例えば、水平セレクタ31およびライトスキャナ32を有している。水平セレクタ31は、例えば、制御信号の入力に応じて(同期して)、コントローラ20から入力されたアナログの信号電圧を、各信号線DTLに印加する。ライトスキャナ32は、複数の画素11を所定の単位ごとに走査する。

[0120]

次に、コントローラ20について説明する。コントローラ20は、例えば、外部から入

10

20

40

30

力されたデジタルの映像信号 Dinに対して所定の補正を行い、それにより得られた映像信号に基づいて信号電圧を生成する。コントローラ 2 0 は、例えば、生成した信号電圧を水平セレクタ 3 1 に出力する。コントローラ 2 0 は、例えば、外部から入力された同期信号 Tinに応じて(同期して)、ドライバ 3 0 内の各回路に対して制御信号を出力する。

[0121]

[効果]

本実施の形態では、発光パネル10は、上記実施の形態および変形例A~Eに係る発光パネル10である。従って、耐環境性に優れた発光装置1を実現することができる。

[0 1 2 2]

< 4 . 適用例 >

[適用例その1]

以下では、上記第2の実施の形態で説明した発光装置1の適用例について説明する。発 光装置1は、テレビジョン装置、デジタルカメラ、ノート型パーソナルコンピュータ、シート状のパーソナルコンピュータ、携帯電話等の携帯端末装置あるいはビデオカメラなど、外部から入力された映像信号あるいは内部で生成した映像信号を、画像あるいは映像として表示するあらゆる分野の電子機器の表示装置に適用することが可能である。

[0123]

図22は、本適用例に係る電子機器2の外観を斜視的に表したものである。電子機器2は、例えば、筐体210の主面に表示面220を備えたシート状のパーソナルコンピュータである。電子機器2は、電子機器2の表示面220に、上記第2の実施の形態に係る発光装置1を備えている。発光装置1は、発光パネル10が外側を向くように配置されている。本適用例では、発光装置1が表示面220に設けられているので、耐環境性に優れた電子機器2を実現することができる。

[0124]

[適用例その2]

次に、上記第1の実施の形態および変形例A~Eに係る発光パネル10の適用例について説明する。上記第1の実施の形態および変形例A~Eに係る発光パネル10は、卓上用もしくは床置き用の照明装置、または、室内用の照明装置など、あらゆる分野の照明装置の光源に適用することが可能である。

[0125]

図23は、上記第1の実施の形態および変形例A~Eに係る発光パネル10が適用される室内用の照明装置の外観を表したものである。この照明装置は、例えば、上記第1の実施の形態および変形例A~Eに係る発光パネル10と、発光パネル10を駆動する駆動部とを含んで構成された照明部410を有している。照明部410は、建造物の天井420に適宜の個数および間隔で配置されている。なお、照明部410は、用途に応じて、天井420に限らず、壁430または床(図示せず)など任意の場所に設置することが可能である。

[0126]

これらの照明装置では、上記第1の実施の形態および変形例A~Eに係る発光パネル1 0からの光により、照明が行われる。これにより、耐環境性に優れた照明装置を実現する ことができる。

[0127]

なお、上記第1の実施の形態および変形例A~Eに係る発光パネル10において、例えば、図24に示したように、発光領域10Aの発光が、単一の有機EL素子11Bによる発光によってなされていてもよい。このような発光パネル10は、照明部410の光源として好適に用いられる。

[0128]

以上、実施の形態および適用例を挙げて本開示を説明したが、本開示は実施の形態等に限定されるものではなく、種々変形が可能である。なお、本明細書中に記載された効果は、あくまで例示である。本開示の効果は、本明細書中に記載された効果に限定されるもの

10

20

30

40

ではない。本開示が、本明細書中に記載された効果以外の効果を持っていてもよい。

[0129]

また、例えば、本開示は以下のような構成を取ることができる。

(1)

1または複数の有機電界発光素子を含む有機電界発光層と、

前記有機電界発光層を挟み込む上部封止層および下部封止層と

前記上部封止層および前記下部封止層の少なくとも一方の封止層が、他の箇所と比べて 相対的に機械的強度の低い無機材料によって形成された複数の破断制御部が形成された1 または複数の無機封止膜を含む

発光パネル。

(2)

各前記破断制御部は、前記1または複数の無機封止膜の上面から下面に到達しない深さ にまで形成されている

(1)に記載の発光パネル。

(3)

前記1または複数の無機封止膜では、前記破断制御部の形成されている領域と、前記破 断制御部の形成されてない領域との境界において、組成が連続的に変化している

(1)または(2)に記載の発光パネル。

(4)

前記1または複数の無機封止膜は、アルミナ層およびSIN層を含む複合層となってお 1)、

各前記破断制御部は、前記SIN層の一部を酸化することにより形成されている (1)から(3)のいずれか1つに記載の発光パネル。

(5)

各前記破断制御部は、酸窒化ケイ素(SiOxNy)もしくは酸化ケイ素(SiOx) で形成されている

(4)に記載の発光パネル。

(6)

前記1または複数の無機封止膜は、各前記破断制御部において酸窒化ケイ素(SiOx Ny)もしくは酸化ケイ素(SiOx)で形成され、他の箇所において窒化ケイ素(Si N×)で形成されている

(1)から(3)のいずれか1つに記載の発光パネル。

(7)

前記封止層は、乾燥剤を含有する樹脂層を有する

(1)から(6)のいずれか1つに記載の発光パネル。

(8)

1または複数の有機電界発光素子を含む有機電界発光層と、

前記有機電界発光層を挟み込む上部封止層および下部封止層と

を備え、

前記上部封止層および前記下部封止層の少なくとも一方の封止層が、他の箇所と比べて 相対的に圧縮応力の高い複数の圧縮応力部が形成された1または複数の無機封止膜を含む 発光パネル。

(9)

各前記圧縮応力部は、不純物の導入により圧縮応力の高められた領域である (8)に記載の発光パネル。

各前記圧縮応力部は、不純物としてイオンが導入されたことより圧縮応力の高められた 領域である

(9)に記載の発光パネル。

10

20

30

40

(11)

前記封止層は、乾燥剤を含有する樹脂層を有する

(8)から(10)のいずれか1つに記載の発光パネル。

(12)

1または複数の有機電界発光素子を含む有機電界発光層と、

前記有機電界発光層を挟み込む上部封止層および下部封止層と

を備え、

前記上部封止層および前記下部封止層の少なくとも一方の封止層が、

1または複数の無機封止膜と、

前記無機封止膜ごとに設けられ、対応する前記無機封止膜のうち所定の箇所に選択的に圧縮応力を与える1または複数の樹脂層と

を含む

発光パネル。

(13)

前記1または複数の樹脂層は、対応する前記無機封止膜のうち所定の箇所に選択的に圧縮応力を与える収縮部を有する

(12)に記載の発光パネル。

(14)

前記1または複数の樹脂層は、乾燥剤を含有する

(12) または(13) に記載の発光パネル。

(15)

発光パネルと、

前記発光パネルを駆動する駆動部と

を備え、

前記発光パネルは、

1または複数の有機電界発光素子を含む有機電界発光層と、

前記有機電界発光層を挟み込む上部封止層および下部封止層と

を有し、

前記上部封止層および前記下部封止層の少なくとも一方の封止層が、他の箇所と比べて相対的に機械的強度の低い無機材料によって形成された複数の破断制御部が形成された1または複数の無機封止膜を含む

発光装置。

(16)

発光パネルと、

前記発光パネルを駆動する駆動部と

を備え、

前記発光パネルは、

1または複数の有機電界発光素子を含む有機電界発光層と、

前記有機電界発光層を挟み込む上部封止層および下部封止層と

を有し、

前記上部封止層および前記下部封止層の少なくとも一方の封止層が、他の箇所と比べて相対的に圧縮応力の高い複数の圧縮応力部が形成された1または複数の無機封止膜を含む 発光装置。

(17)

発光パネルと、

前記発光パネルを駆動する駆動部と

を備え、

前記発光パネルは、

1または複数の有機電界発光素子を含む有機電界発光層と、

前記有機電界発光層を挟み込む上部封止層および下部封止層と

10

20

30

40

を有し、

前記上部封止層および前記下部封止層の少なくとも一方の封止層が、

1 または複数の無機封止膜と、

前記無機封止膜ごとに設けられ、対応する前記無機封止膜のうち所定の箇所に選択的に 圧縮応力を与える1または複数の樹脂層と

を含む

発光装置。

(18)

発光装置を備え、

前記発光装置は、

発光パネルと、

前記発光パネルを駆動する駆動部と

を有し、

前記発光パネルは、

1または複数の有機電界発光素子を含む有機電界発光層と、

前記有機電界発光層を挟み込む上部封止層および下部封止層と

を有し、

前記上部封止層および前記下部封止層の少なくとも一方の封止層が、他の箇所と比べて相対的に機械的強度の低い無機材料によって形成された複数の破断制御部が形成された 1または複数の無機封止膜を含む

電子機器。

(19)

発光装置を備え、

前記発光装置は、

発光パネルと、

前記発光パネルを駆動する駆動部と

を有し、

前記発光パネルは、

1または複数の有機電界発光素子を含む有機電界発光層と、

前記有機電界発光層を挟み込む上部封止層および下部封止層と

を有し、

前記上部封止層および前記下部封止層の少なくとも一方の封止層が、他の箇所と比べて相対的に圧縮応力の高い複数の圧縮応力部が形成された1または複数の無機封止膜を含む電子機器。

(20)

発光装置を備え、

前記発光装置は、

発光パネルと、

前記発光パネルを駆動する駆動部と

を有し、

前記発光パネルは、

1または複数の有機電界発光素子を含む有機電界発光層と、

前記有機電界発光層を挟み込む上部封止層および下部封止層と

を有し、

前記上部封止層および前記下部封止層の少なくとも一方の封止層が、

1または複数の無機封止膜と、

前記無機封止膜ごとに設けられ、対応する前記無機封止膜のうち所定の箇所に選択的に 圧縮応力を与える1または複数の樹脂層と

を含む

電子機器。

10

20

30

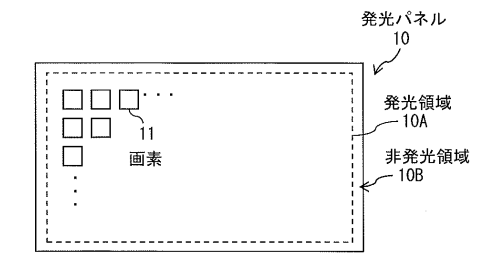
40

【符号の説明】

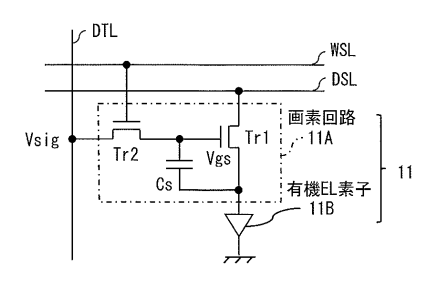
[0130]

1 … 発光装置、2 … 電子機器、1 0 … 発光パネル、1 0 A … 発光領域、1 0 B … 非発光領域、1 1 … 画素、1 1 A … 画素回路、1 1 B … 有機 E L 素子、1 2 … 下部封止層、1 2 A … 基板、1 2 B … 無機封止膜、1 2 C … 樹脂層、1 2 D … 無機封止膜、1 2 E … 樹脂層、1 3 … T F T 層、1 4 … E L 層、1 5 … 上部封止層、1 5 A … 樹脂層、1 2 b ,1 2 d ,1 2 g ,1 2 i ,1 2 n ,1 2 q ,1 5 n ,1 5 q ,1 5 b ,1 5 d ,1 5 g ,1 5 i ,1 2 0 A ,1 2 g ,1 2 i ,1 2 n ,1 2 q ,1 5 n ,1 5 q ,1 5 b ,1 5 d ,1 5 g ,1 5 i ,1 2 0 A ,1 2 g ,1 2 h ,1 2 m ,1 2 p ,1 5 f ,1 5 h ,1 5 m ,1 5 p … 圧縮応力部、1 2 f ,1 2 h ,1 2 m ,1 2 p ,1 5 f ,1 5 h ,1 5 m ,1 5 p … 圧縮応力部、1 2 j ,1 2 k ,1 5 j ,1 5 k … 収縮部、2 0 … コントローラ、3 0 … ドライバ、3 1 … 水平セレクタ、3 2 … ライトスキャナ、1 2 0 … レジスト層、1 2 0 a … 開口、1 2 1 ,1 2 3 … アルミナ層、1 5 2 ,1 5 4 … S i N層、2 1 0 … 筐体、2 2 0 …表示面、4 1 0 … 照明部、4 2 0 … 天井、4 3 0 …壁、B D 1 ,B D 2 ,B D 3 ,B D 4 … 境界、C s … 保持容量、D T L …信号線、D S L … 電源線、T r 1 … 駆動トランジスタ、T r 2 …書込トランジスタ、V g s … ゲート・ソース間電圧、V s i g …信号電圧、W S L … 走査線。

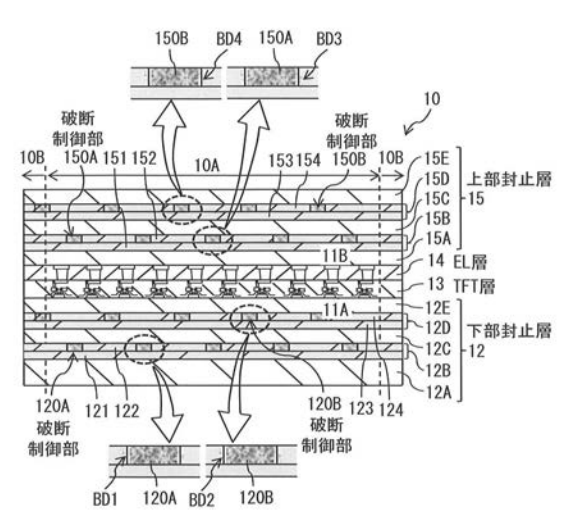
【図1】



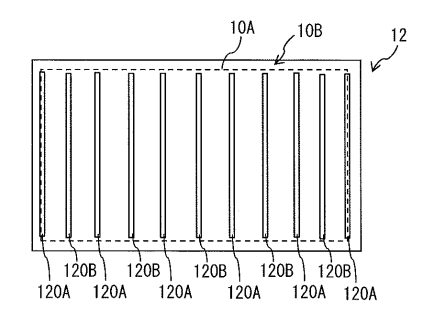
【図2】



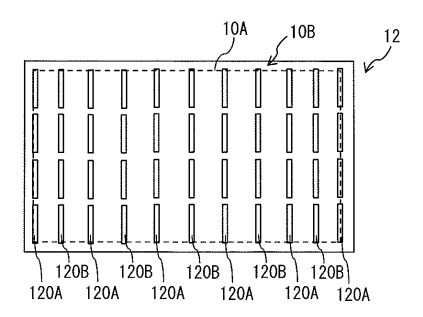
【図3】



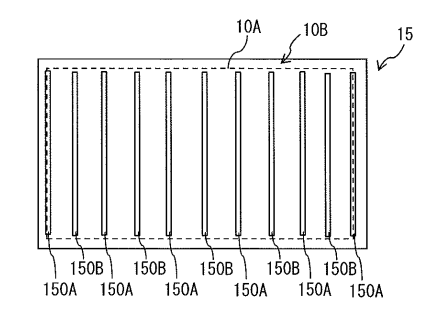
【図4】



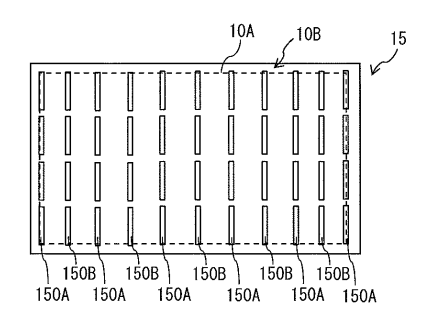
【図5】



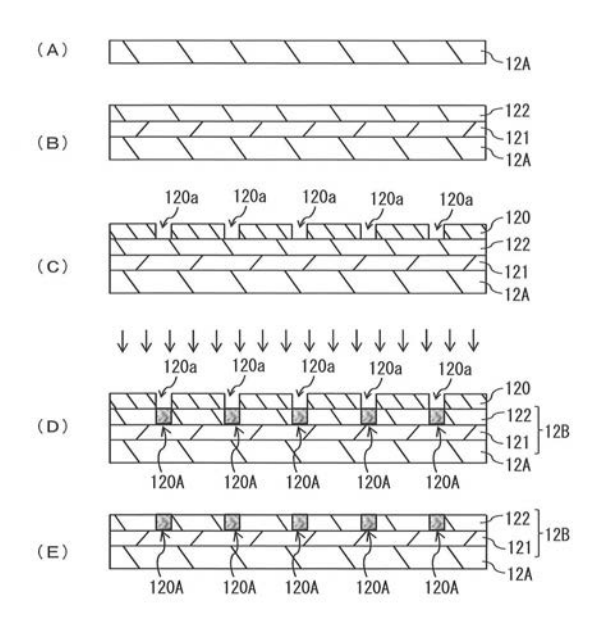
【図6】



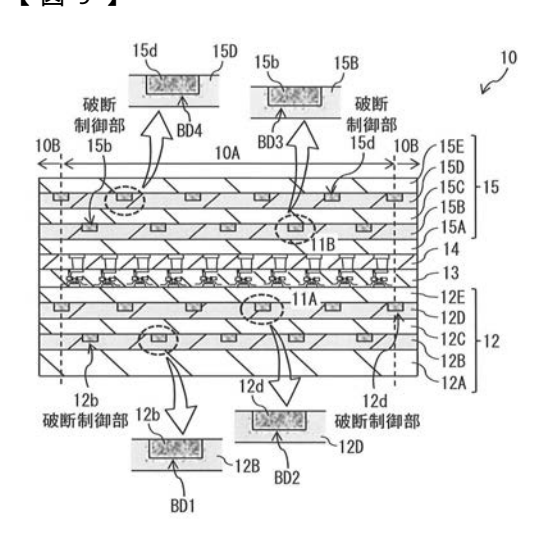
【図7】



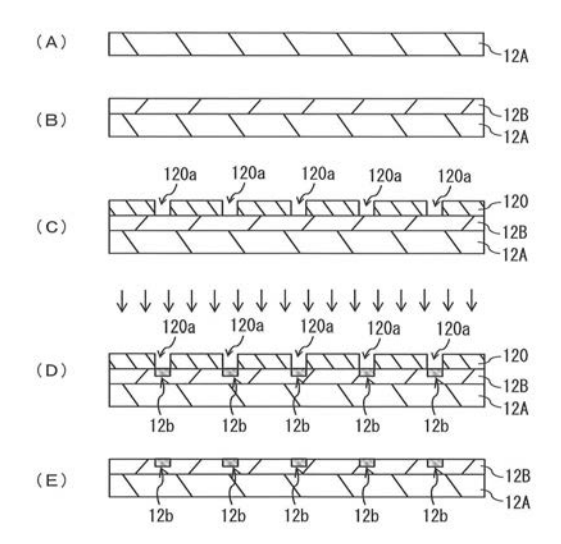
【図8】



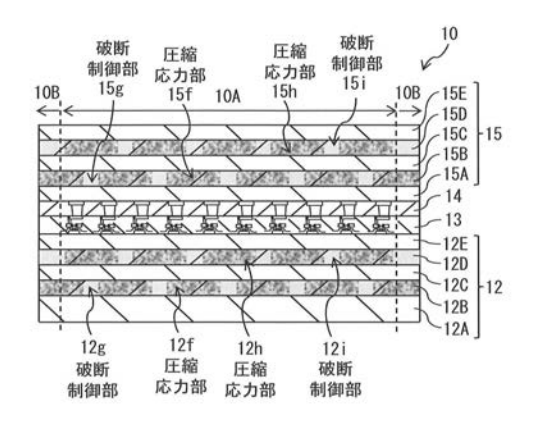
【図9】



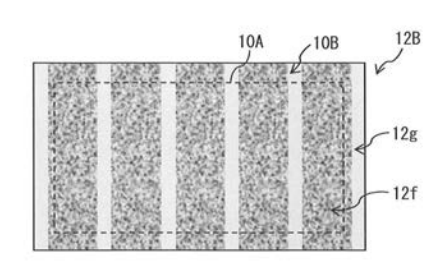
【図10】



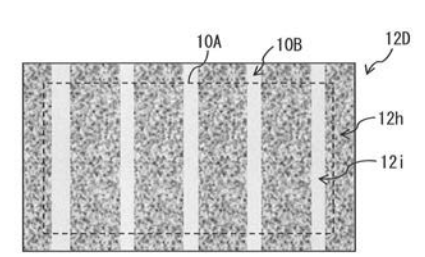
【図11】



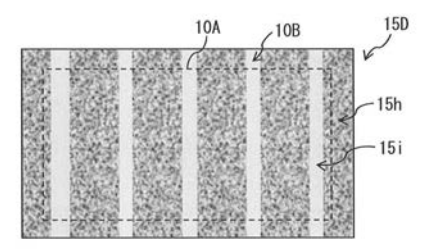
【図12】



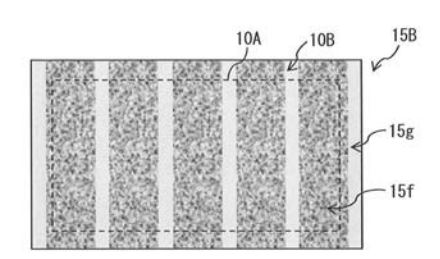
【図13】



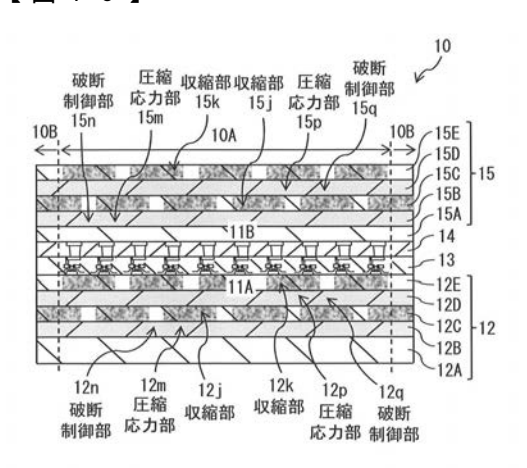
【図15】



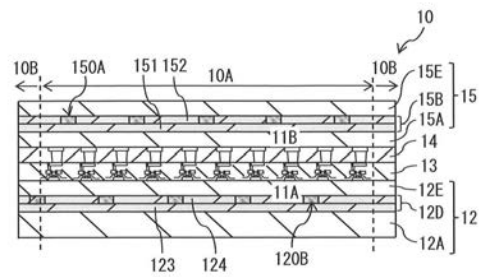
【図14】



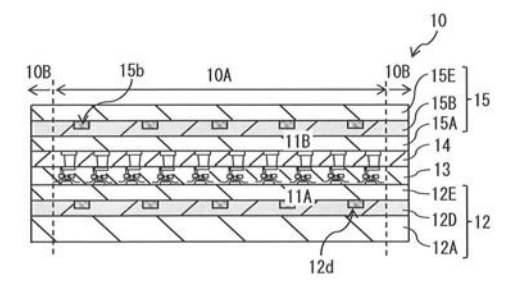
【図16】



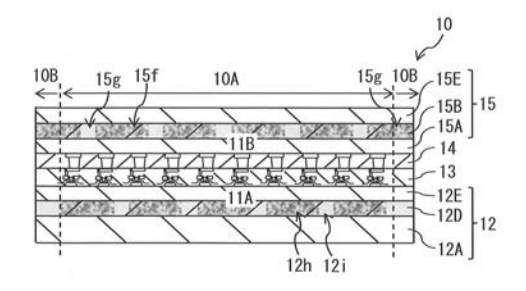
【図17】



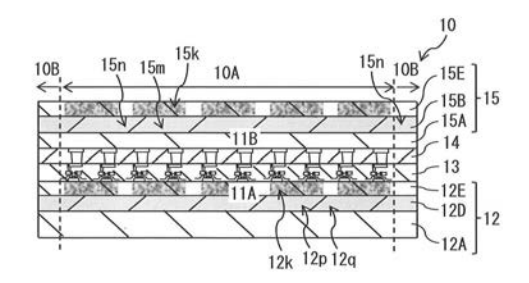
【図18】



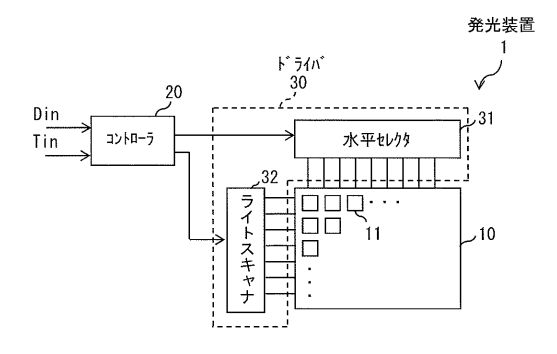
【図19】



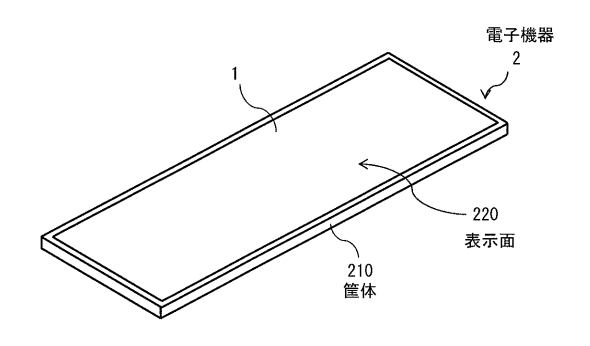
【図20】



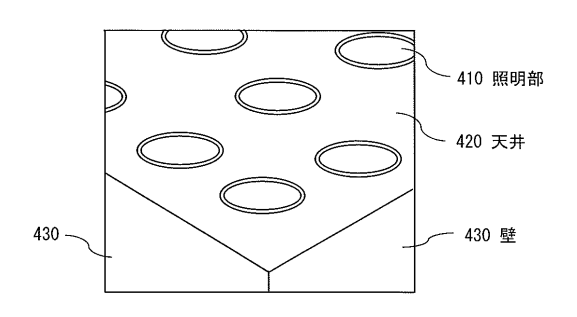
【図21】



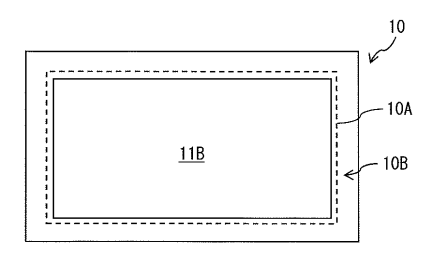
【図22】



【図23】



【図24】





专利名称(译)	发光面板,发光装置以及电子设备						
公开(公告)号	<u>JP2020113443A</u>	公开(公告)日	2020-07-27				
申请号	JP2019003385	申请日	2019-01-11				
[标]申请(专利权)人(译)	日本有机雷特显示器股份有限公司						
申请(专利权)人(译)	株式会社JOLED						
[标]发明人	佐々木厚						
发明人	佐々木 厚						
IPC分类号	H05B33/04 H01L51/50 G09F9/30						
FI分类号	H05B33/04 H05B33/14.A G09F9/30.365 G09F9/30.309						
F-TERM分类号	3K107/AA01 3K107/BB01 3K107/BB02 3K107/CC23 3K107/EE48 3K107/EE49 3K107/EE50 3K107/EE53 3K107/FF02 3K107/FF15 3K107/HH05 5C094/AA31 5C094/BA27 5C094/DA07 5C094/FB02						

摘要(译)

解决的问题:提供一种能够提高耐环境性的发光面板,发光装置和电子设备。 发光面板包括:有机电致发光层,其包括一个或多个有机电致发光元件;以及将有机电致发光层夹在中间的上密封层和下密封层。 上密封层15和下密封层12中的至少一个密封层,多个断裂控制单元120A,120B,150A由与其他地方相比具有较低机械强度的无机材料形成。,在其上形成一个或多个无机密封膜的150B。 [选择图]图3

